

1/14

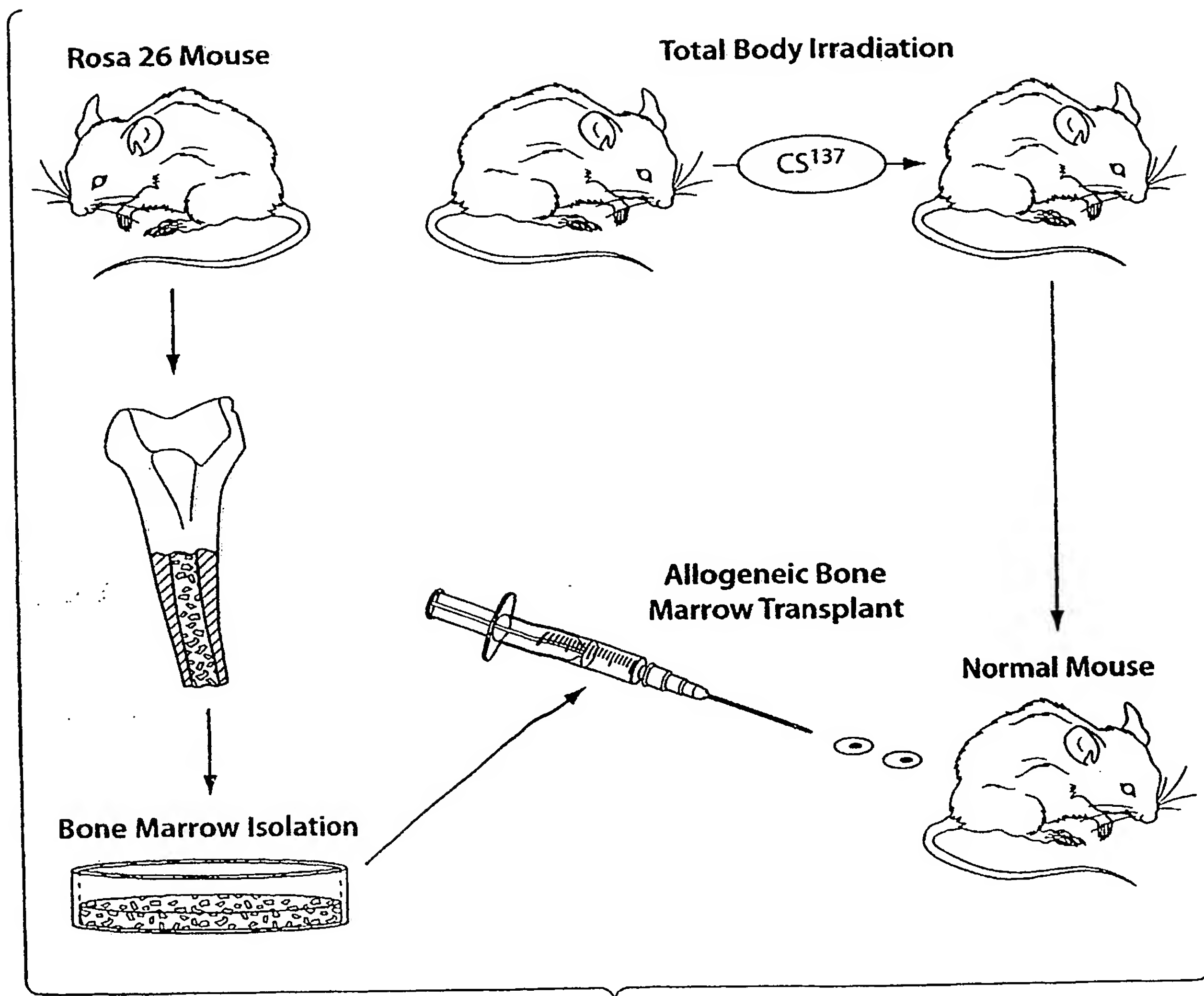


Fig. 1

2/14

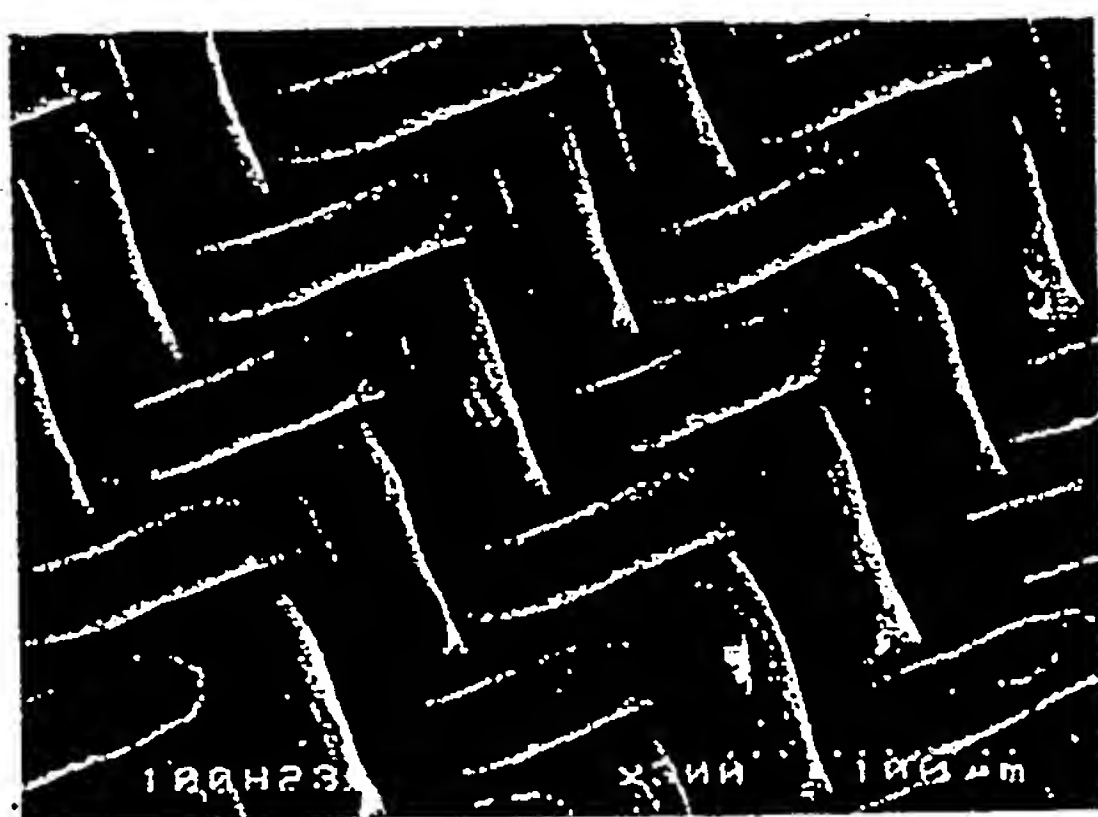


Fig. 2A

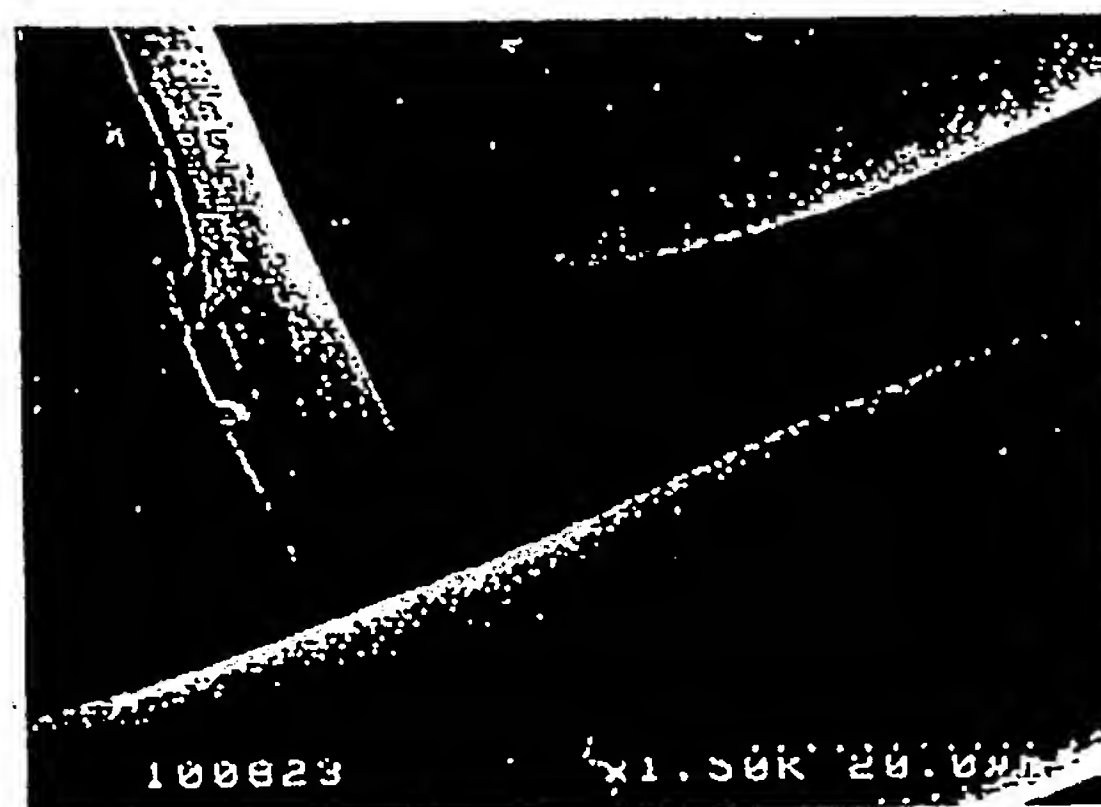


Fig. 2B

Negative control
B6129S mouse

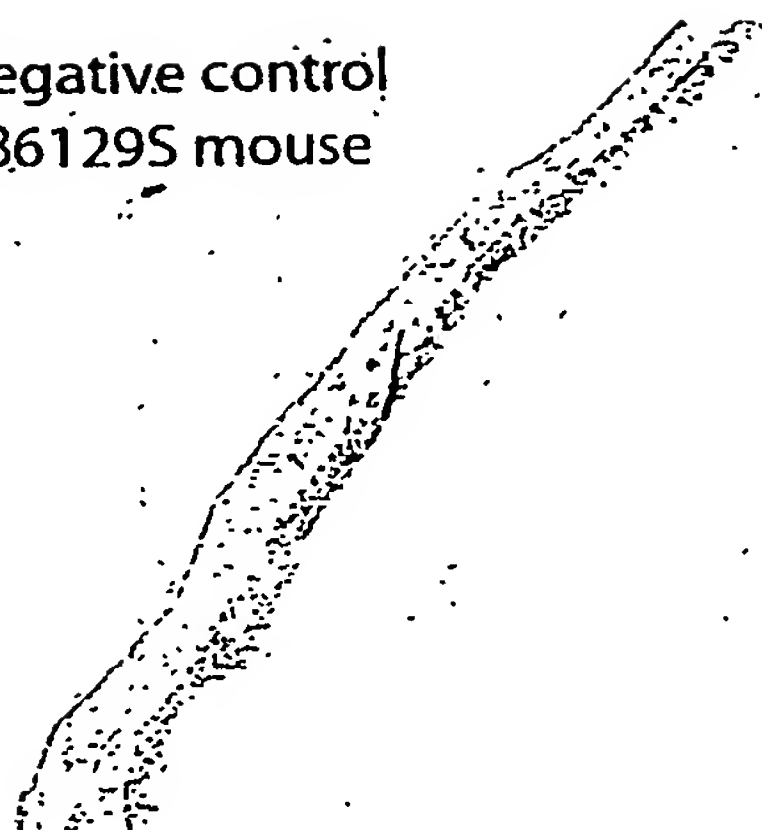


Fig. 3A

Positive control
Rosa 26 mouse



Fig. 3B

3/14

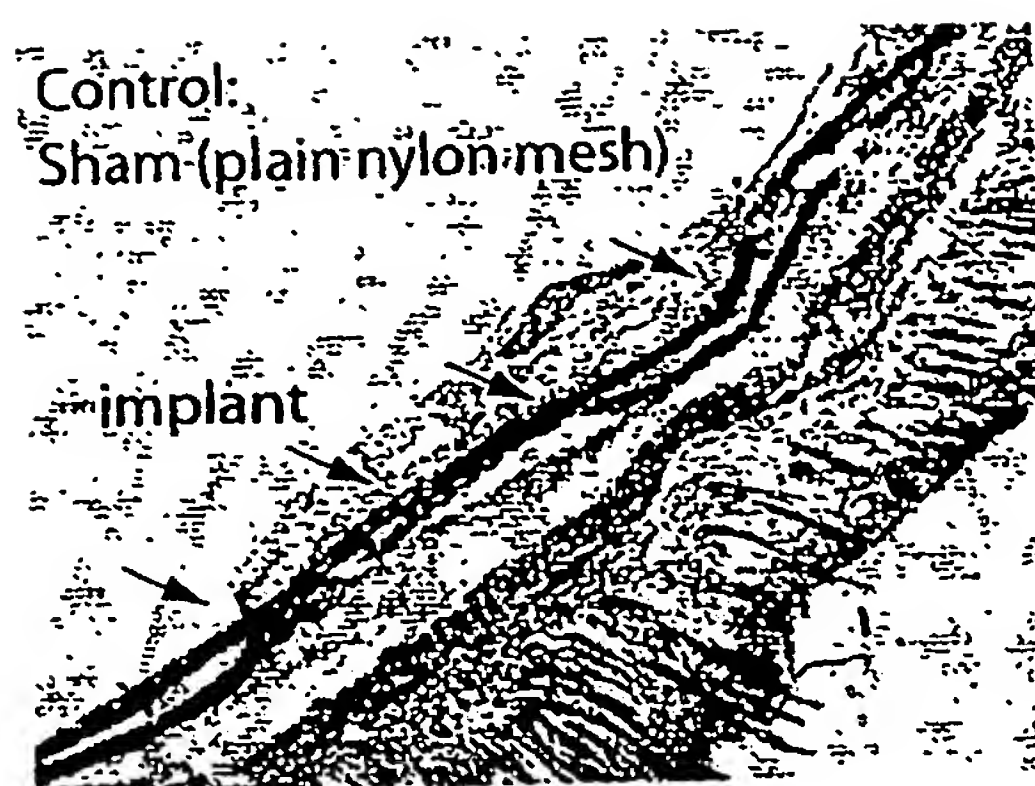


Fig. 4A

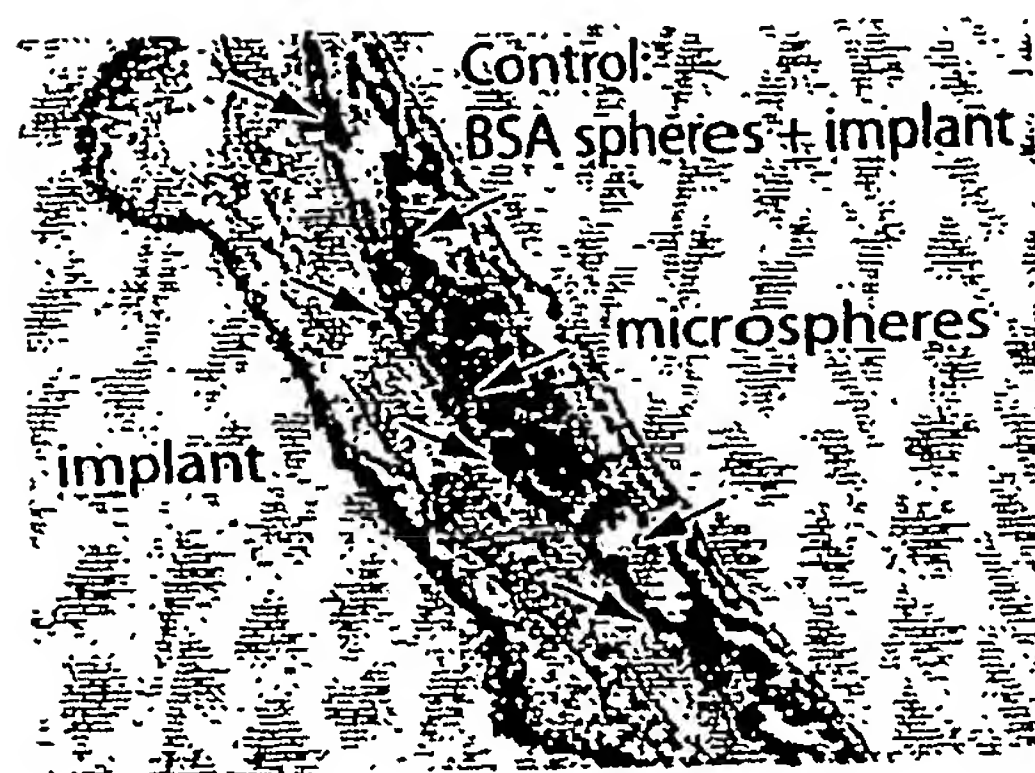


Fig. 4B

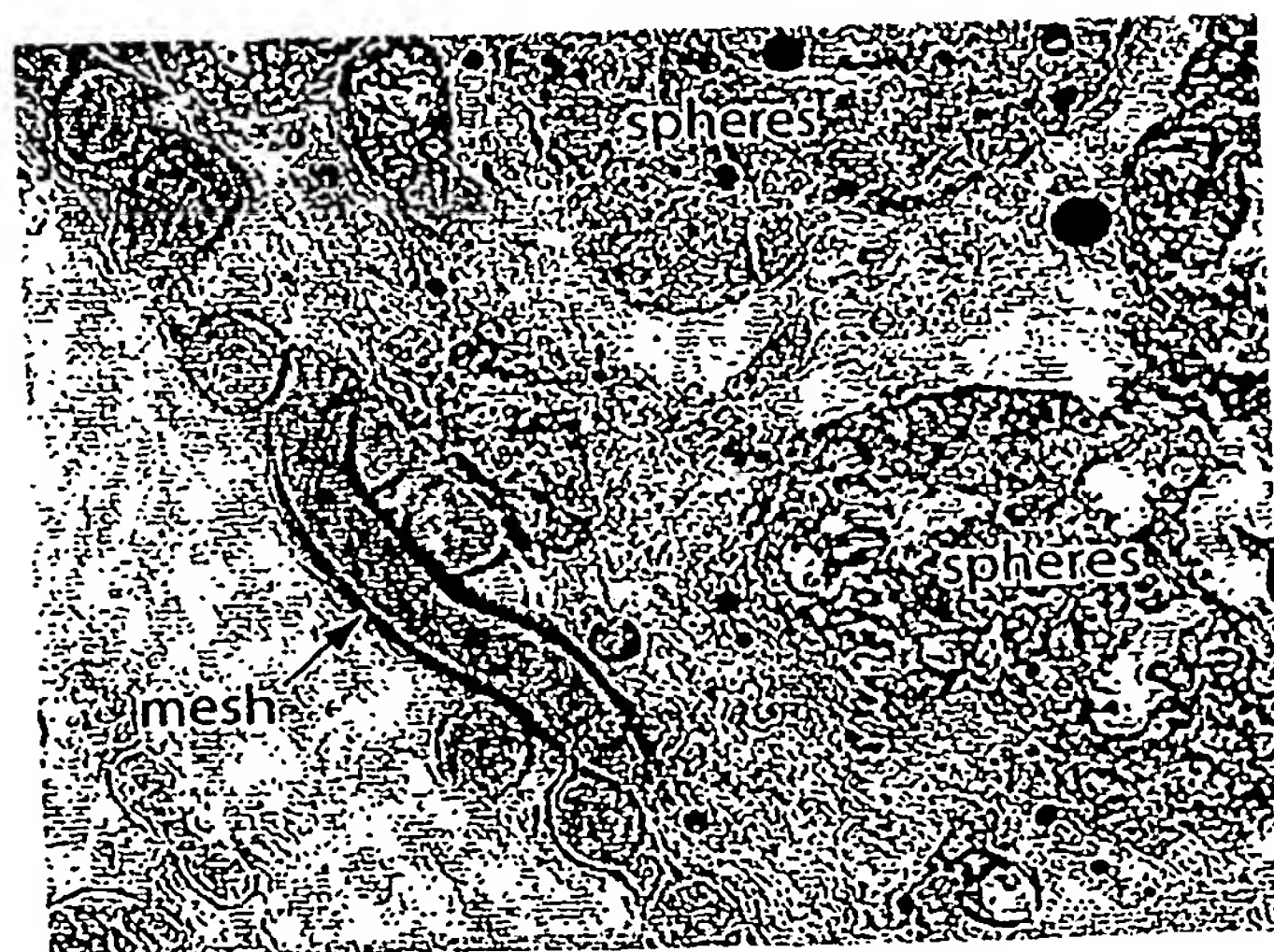


Fig. 4C

4/14

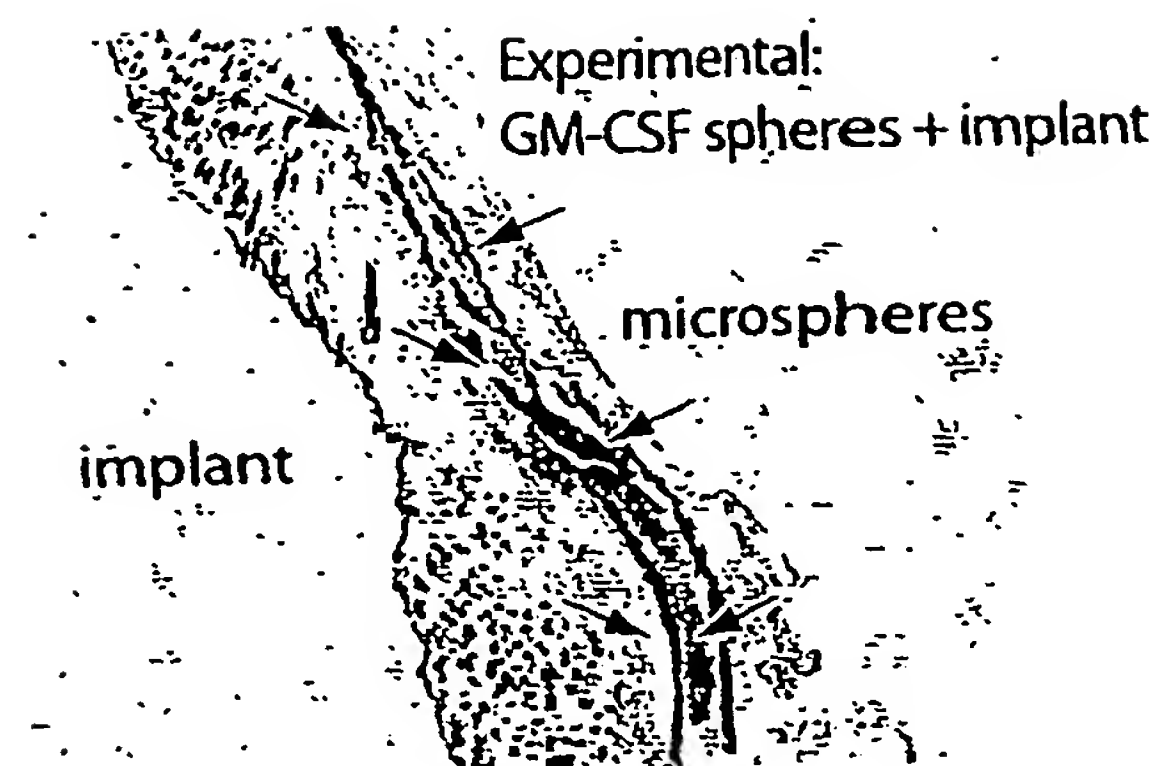


Fig. 5A

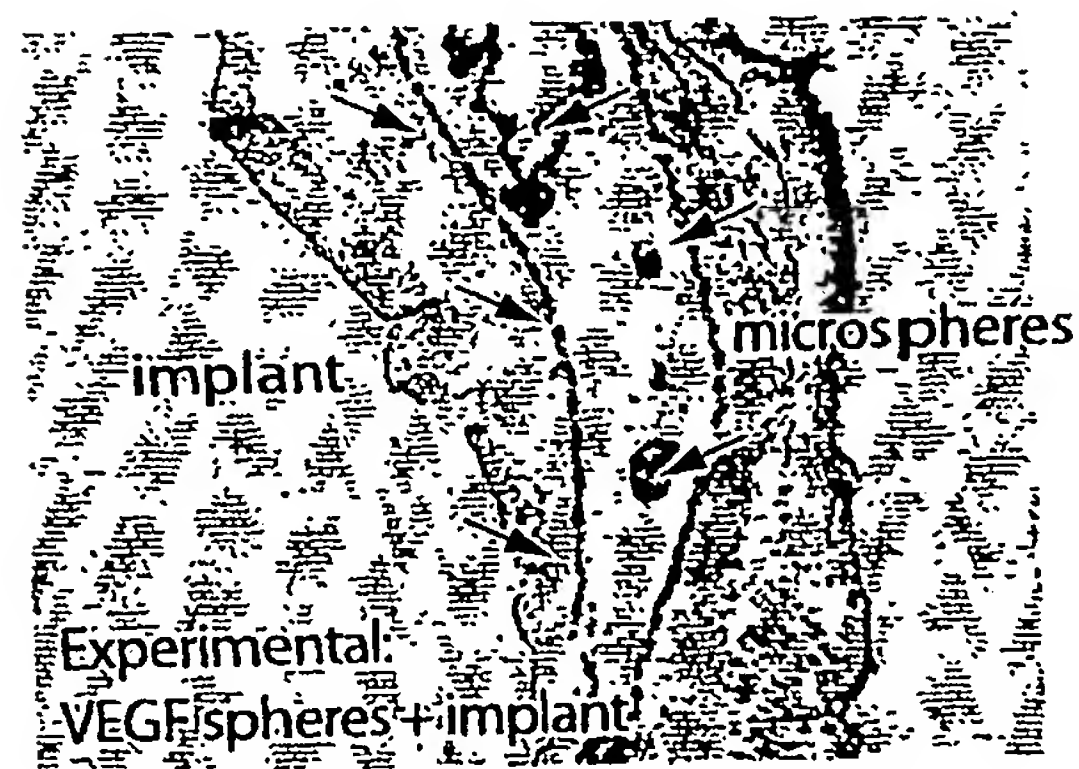


Fig. 5B

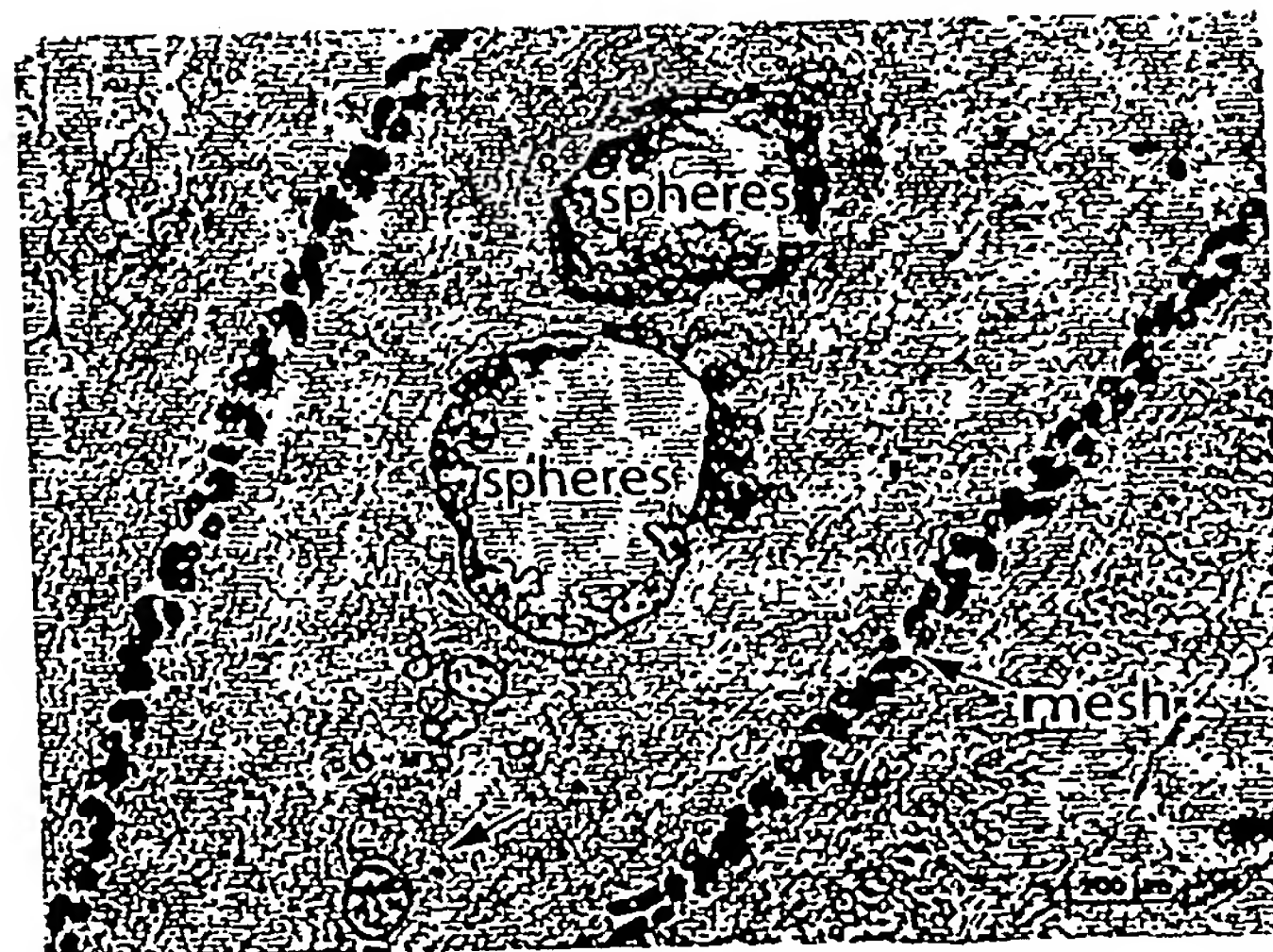


Fig. 5C

5/14

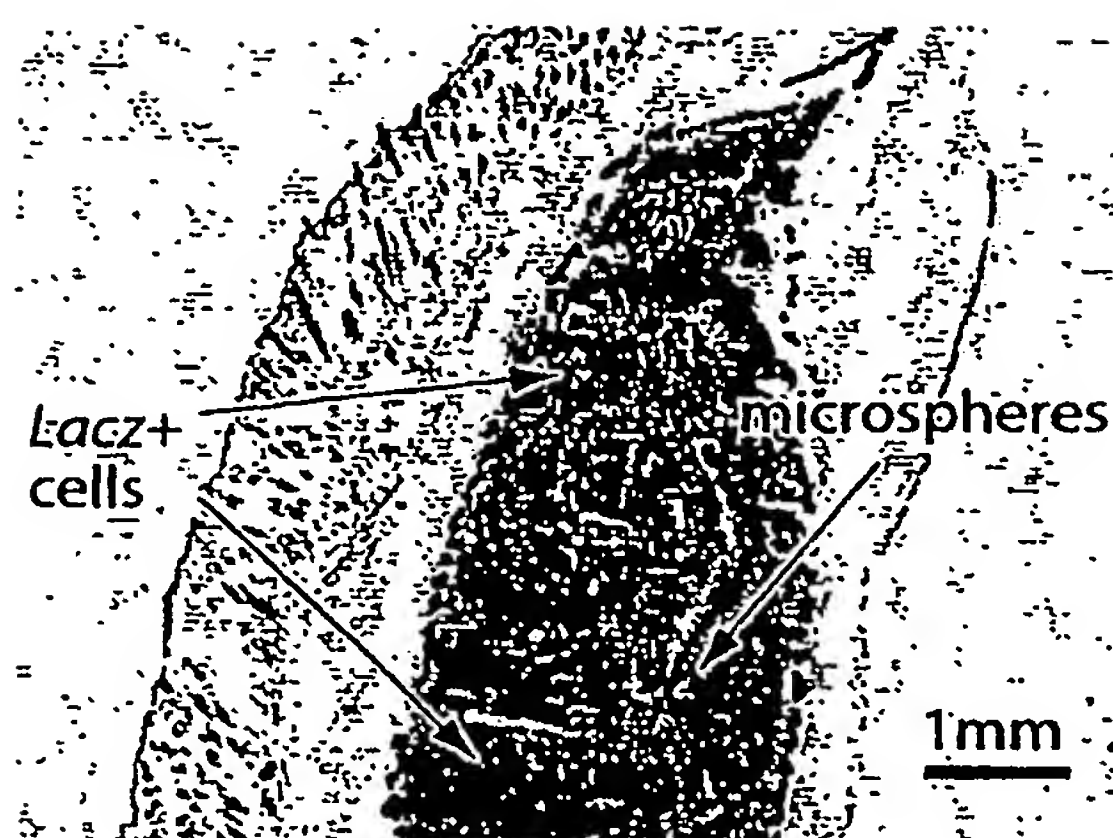


Fig. 6A

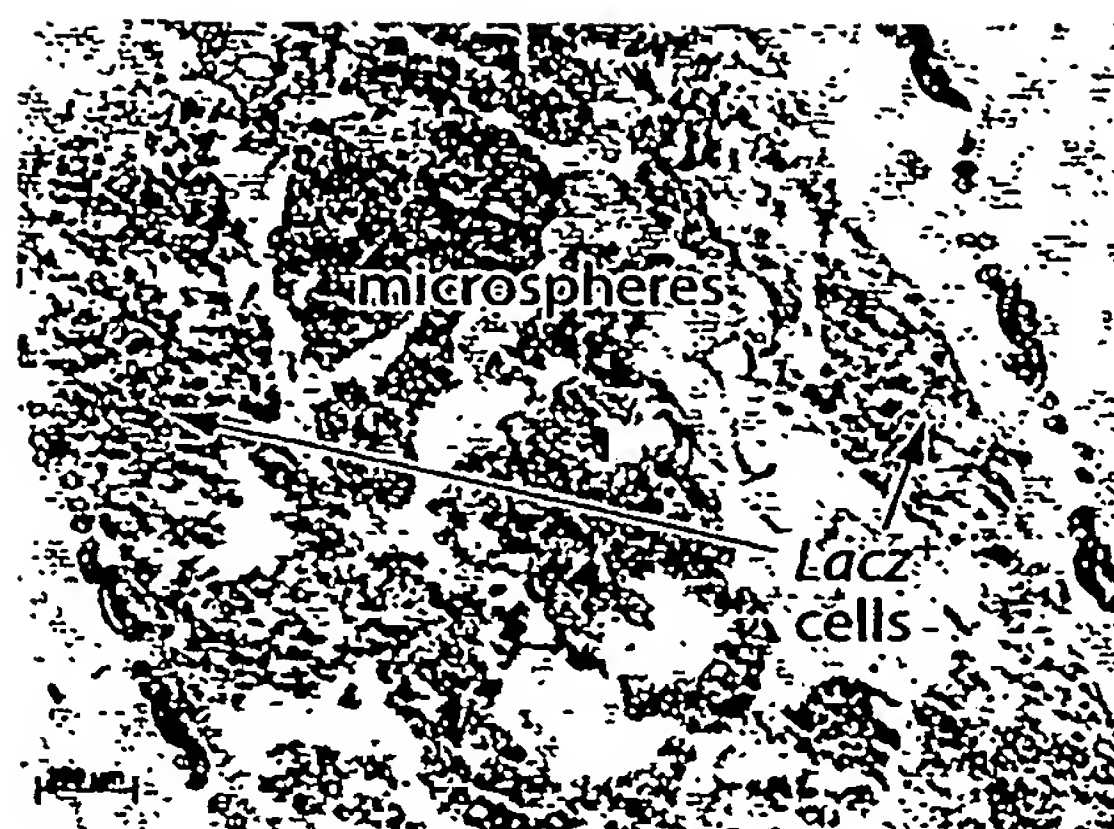


Fig. 6B



Fig. 7A



Fig. 7B

6/14

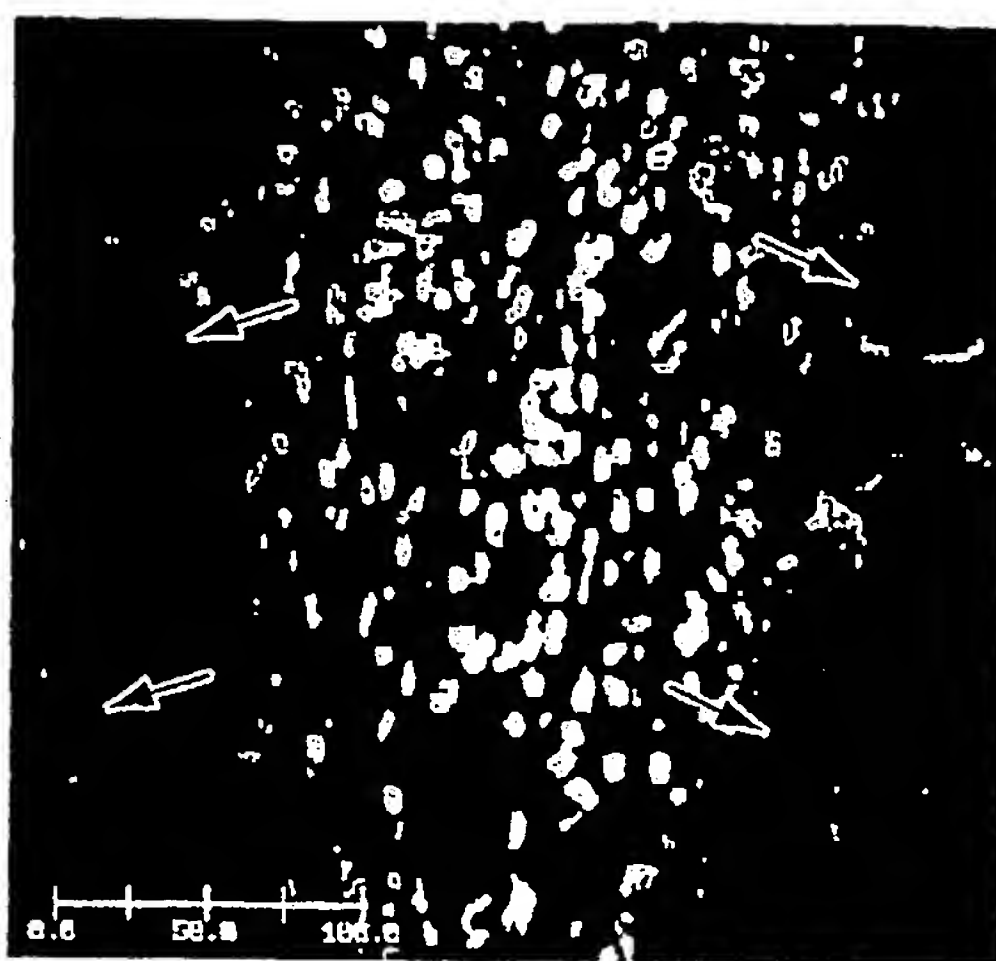


Fig. 8

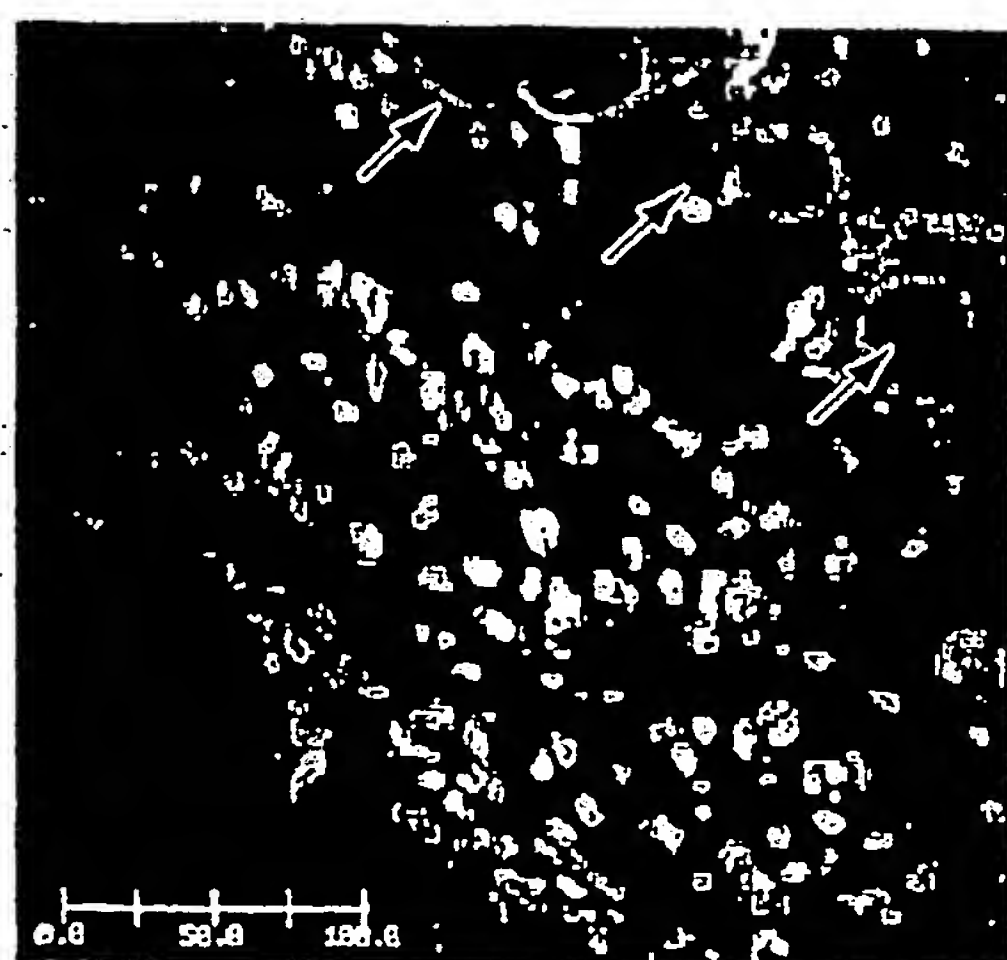


Fig. 9A

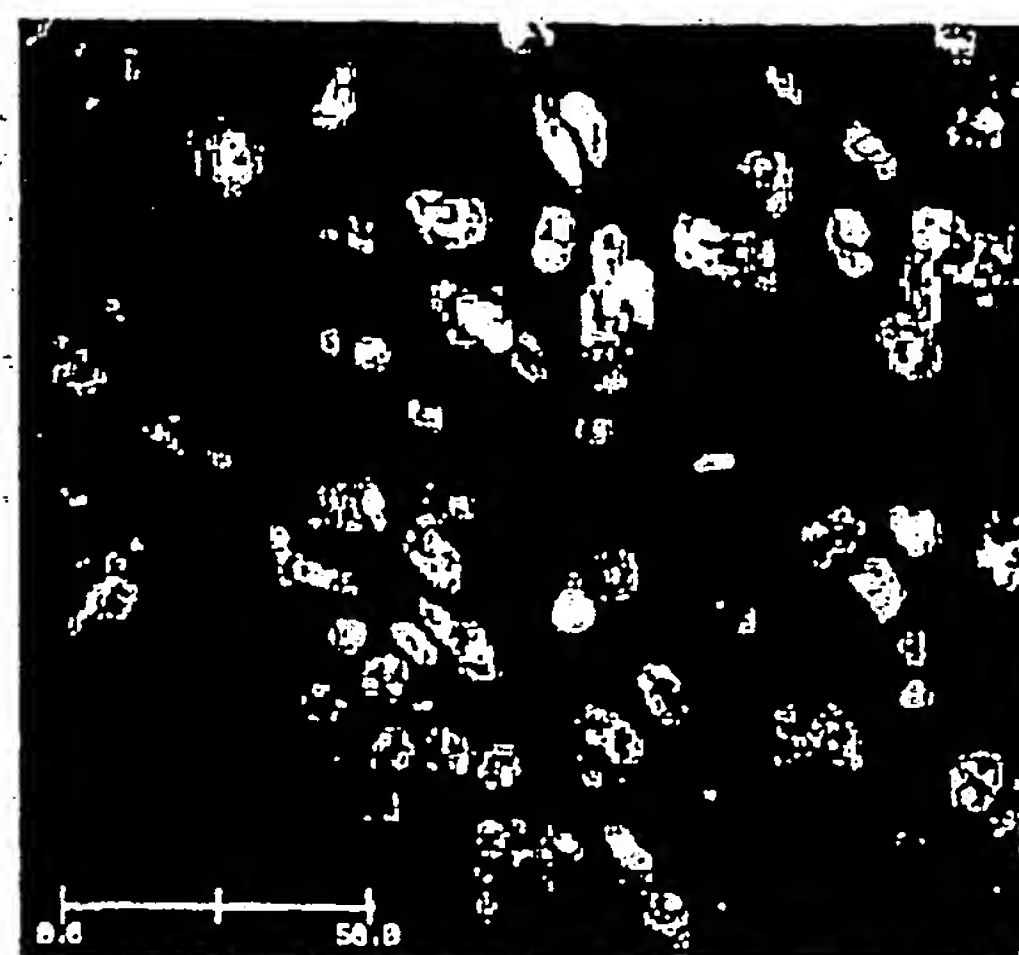


Fig. 9B

7/14

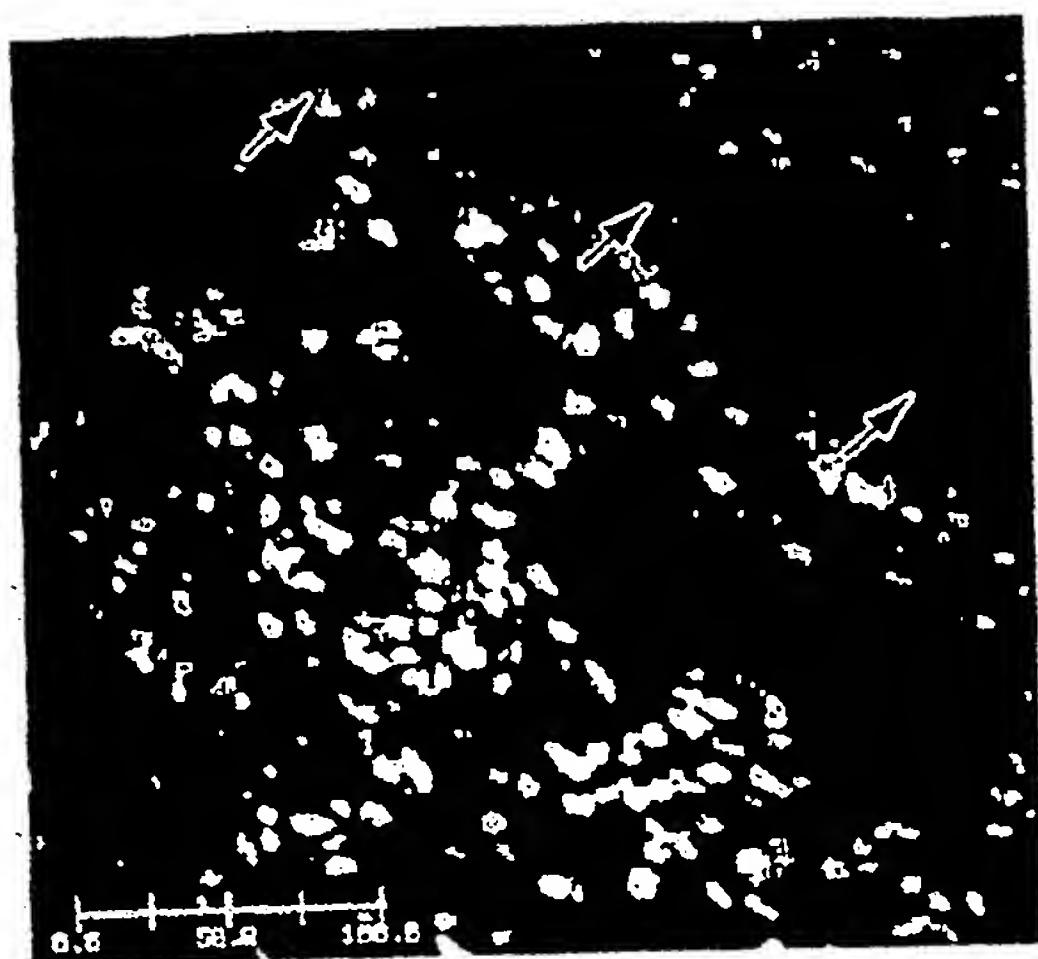


Fig. 10A

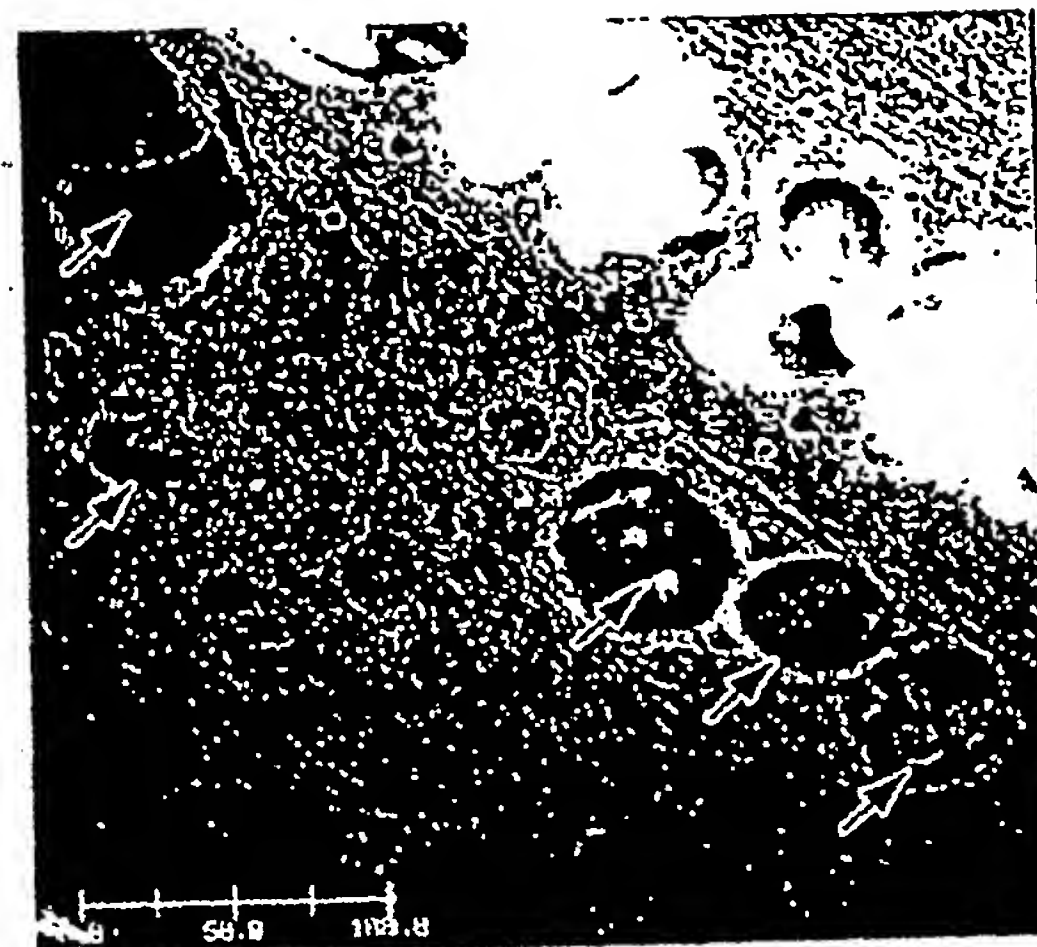


Fig. 10B

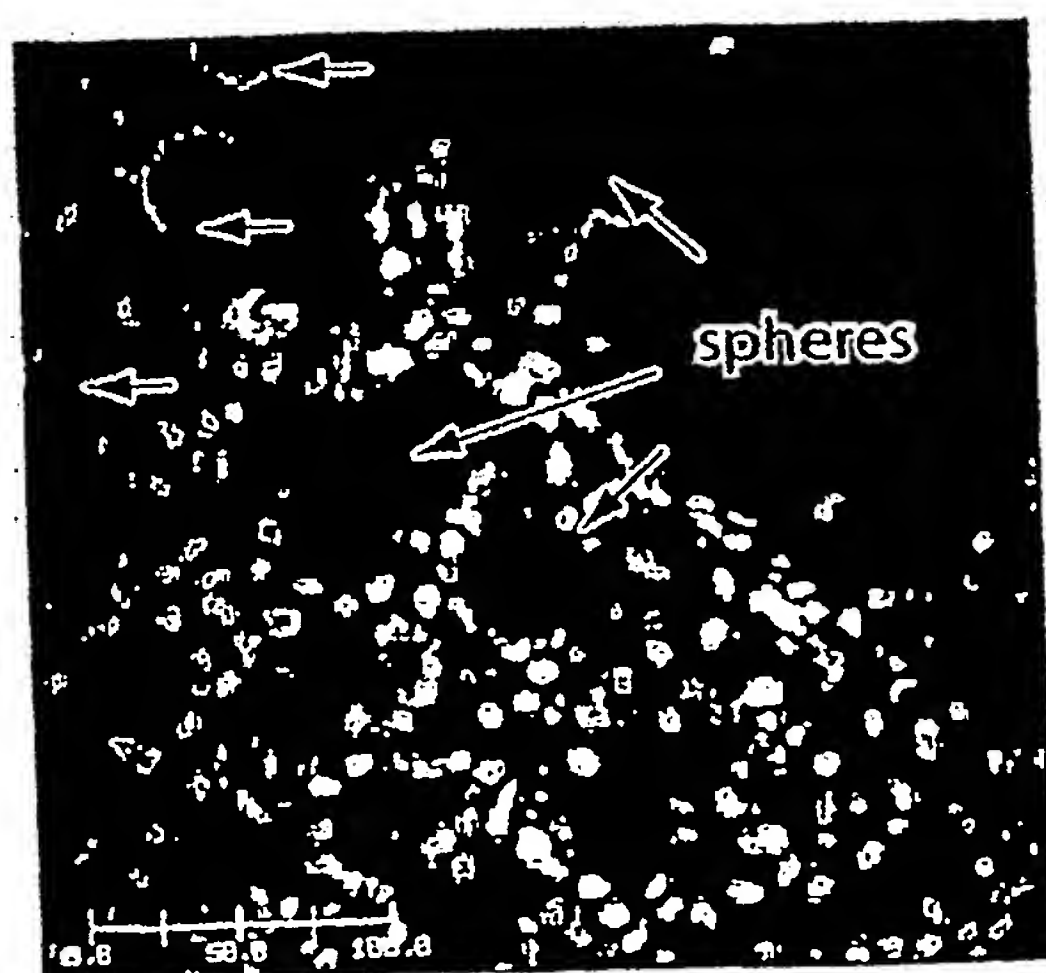


Fig. 11A



Fig. 11B

8/14



Fig. 12A

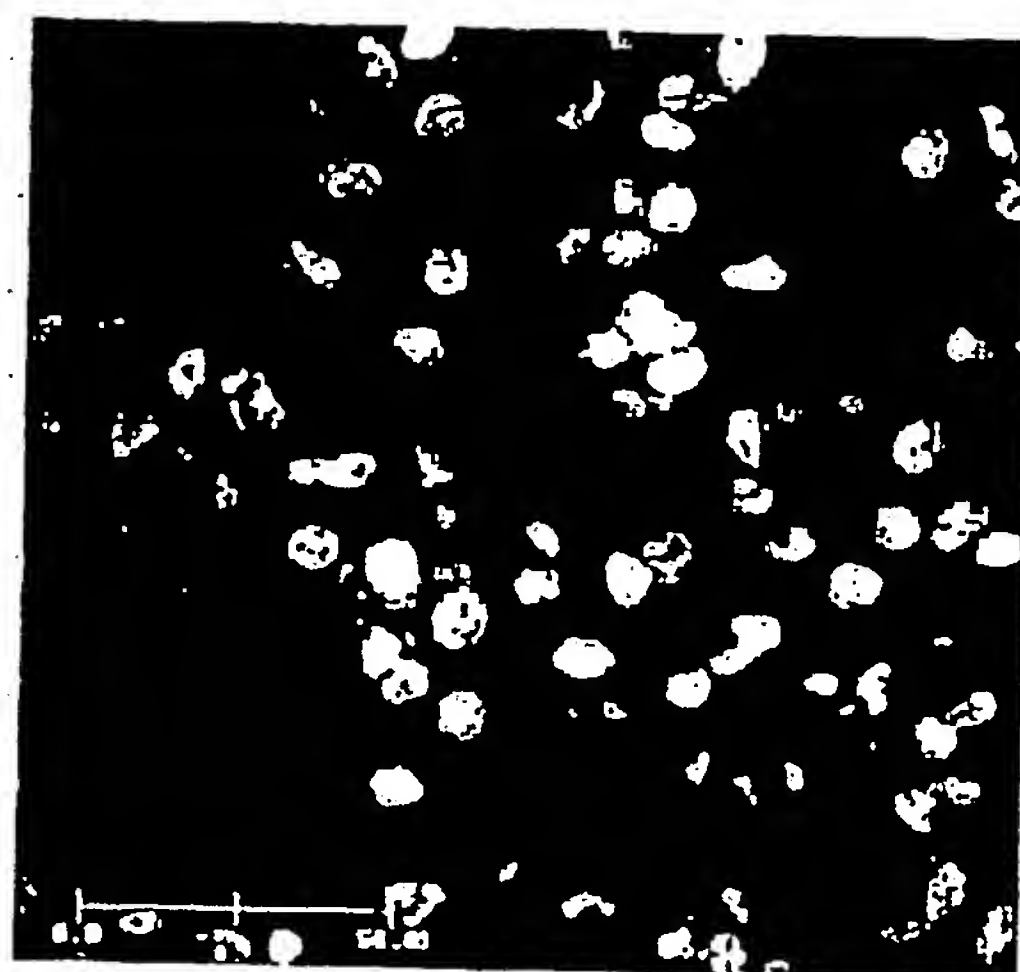


Fig. 12B

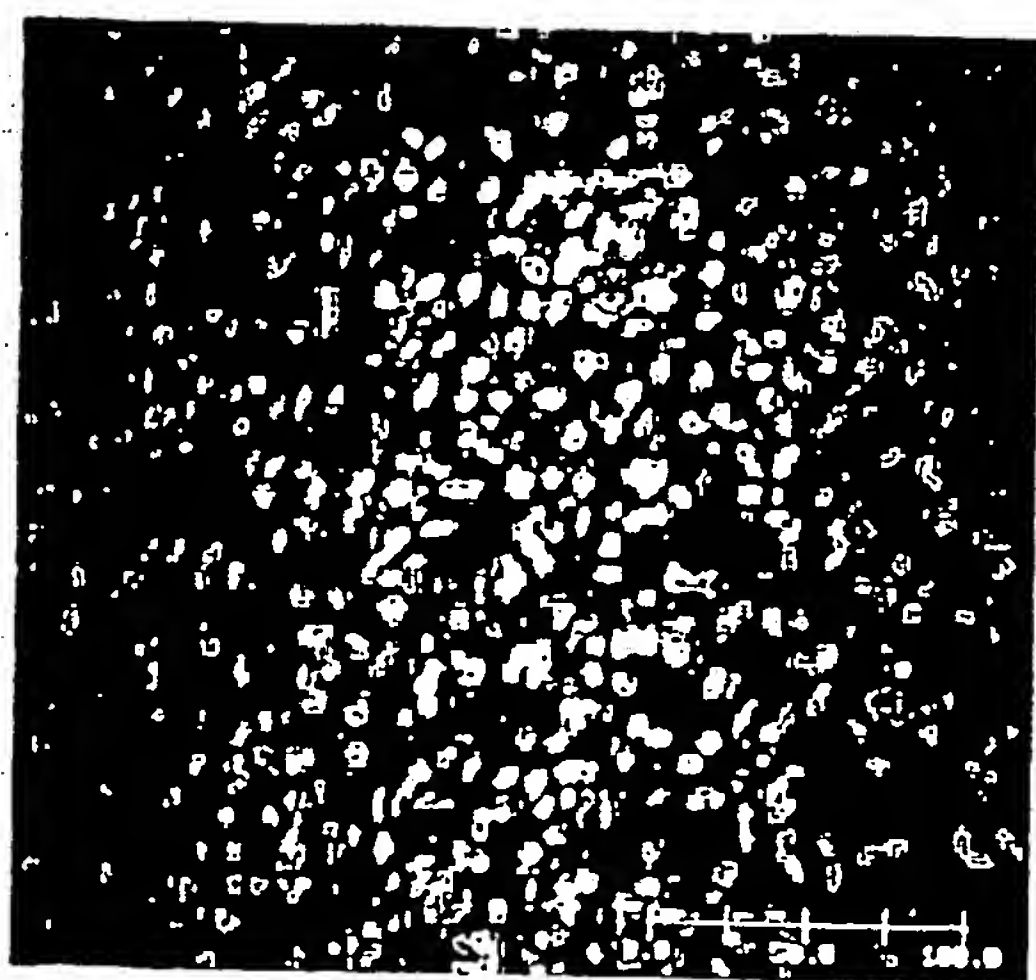


Fig. 13A

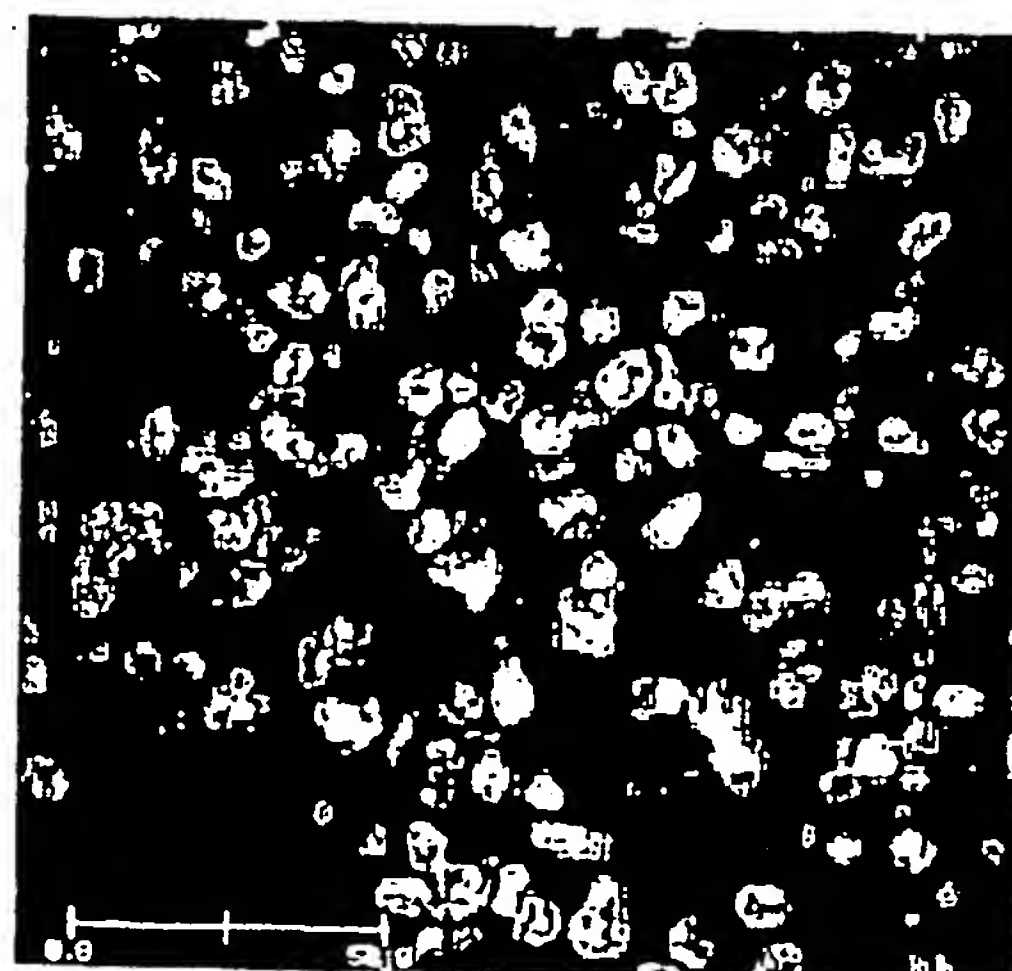


Fig. 13B

9/14

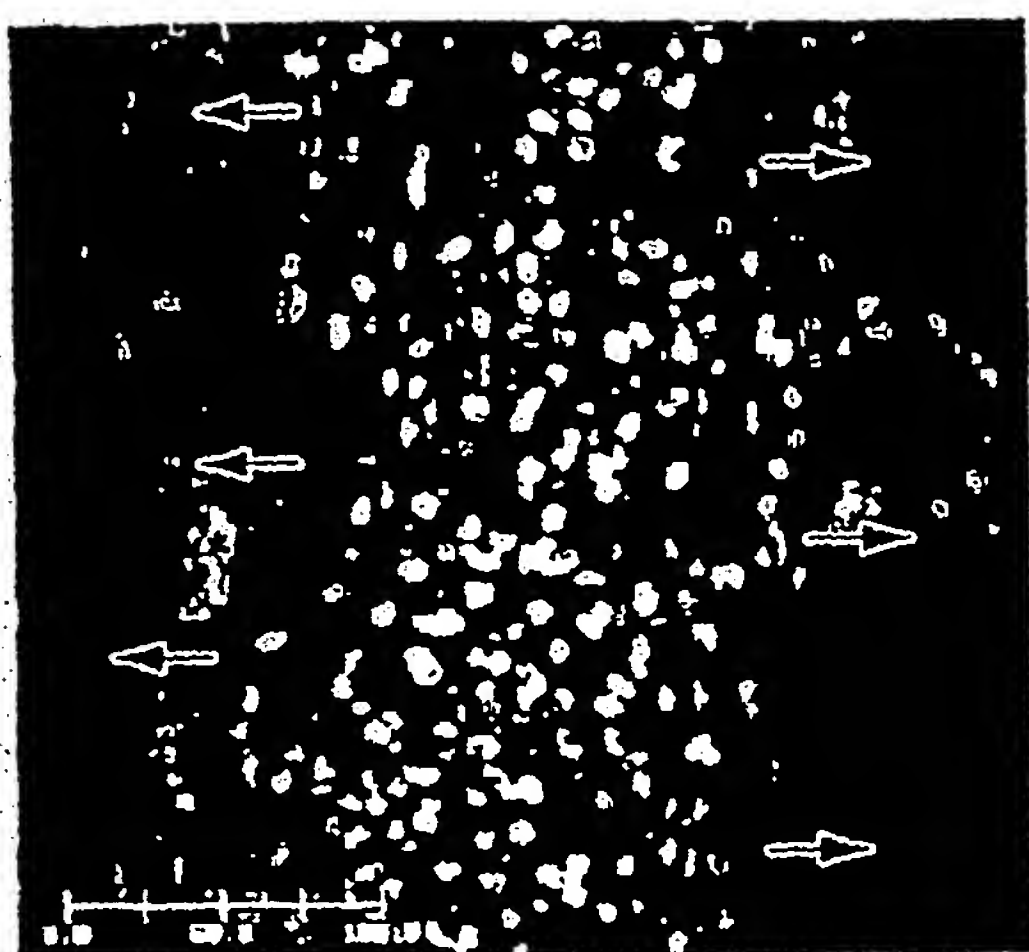


Fig. 14A

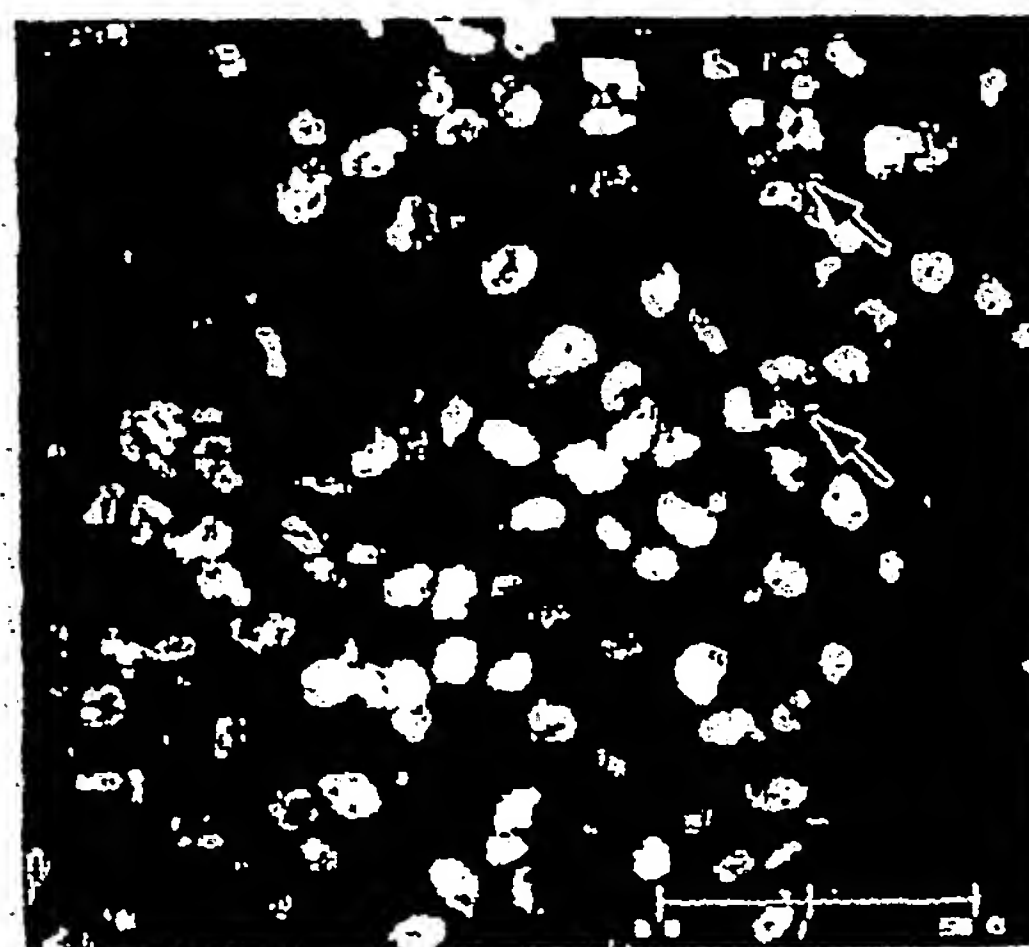


Fig. 14B

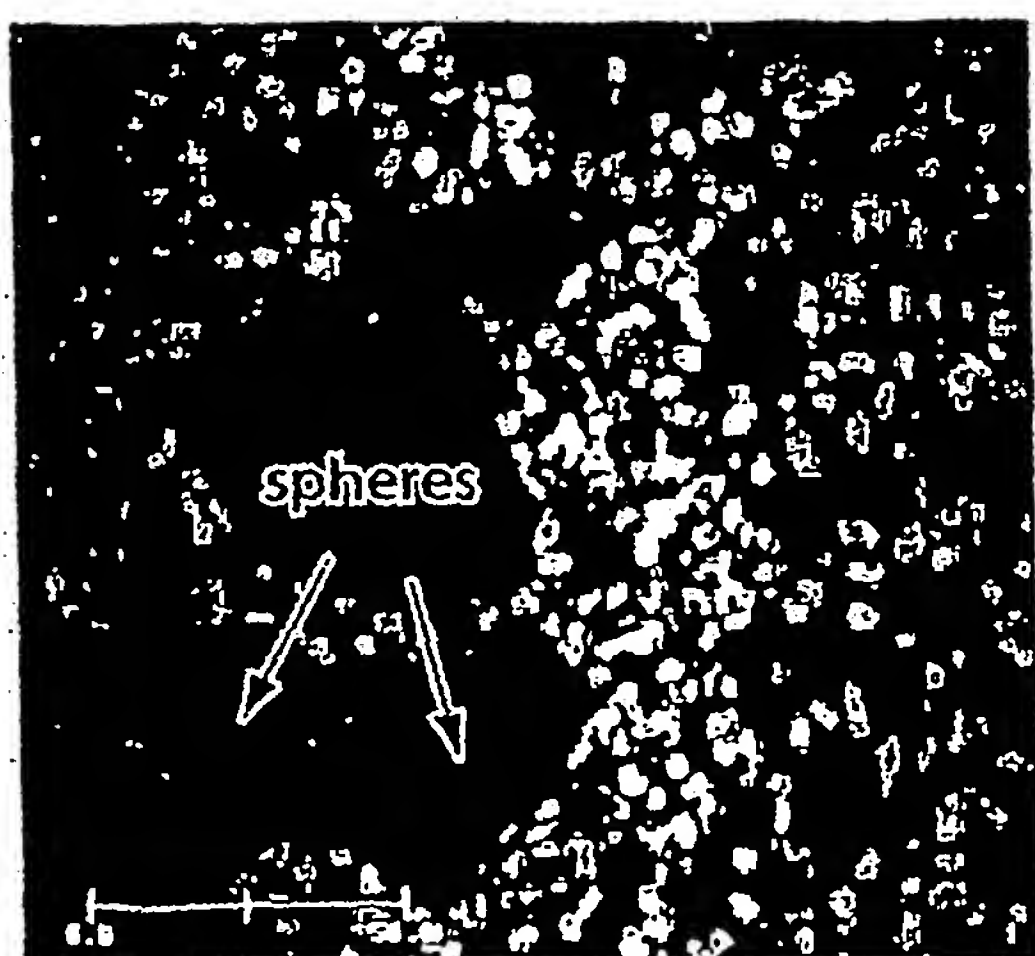


Fig. 15A

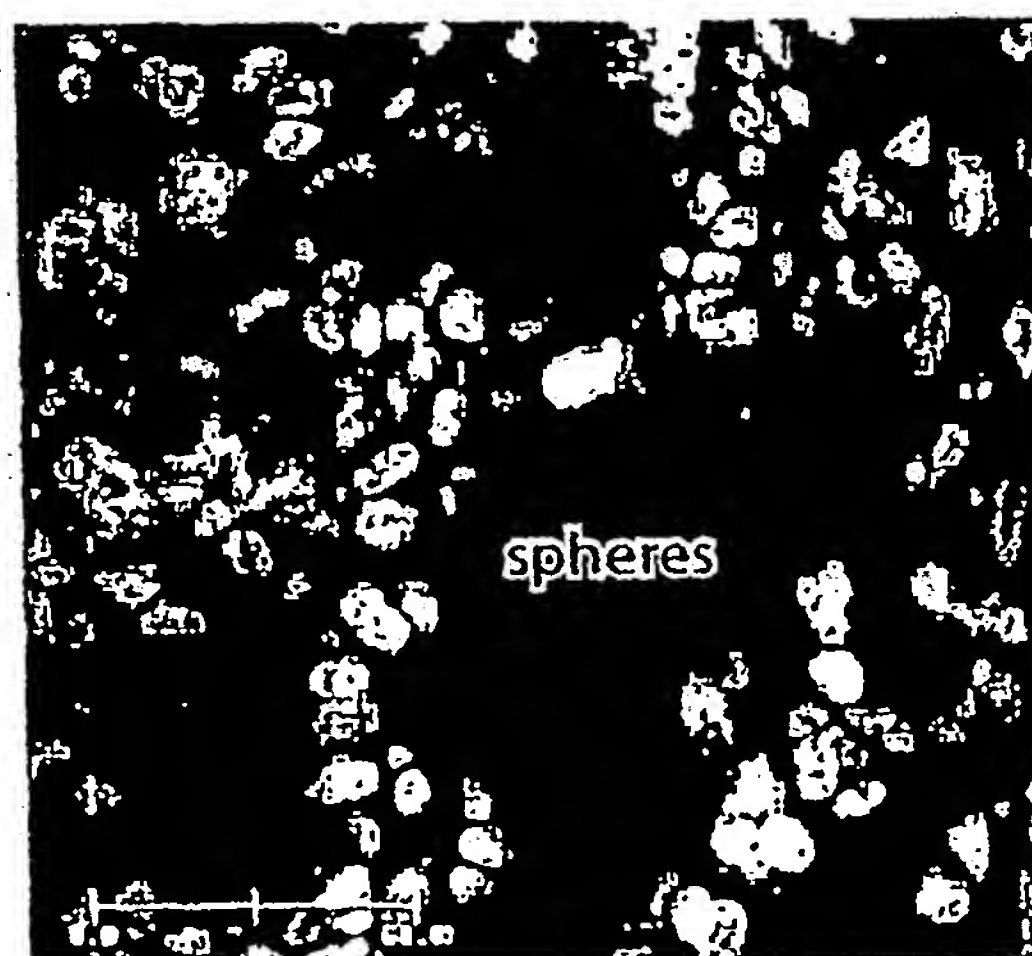


Fig. 15B

10/14

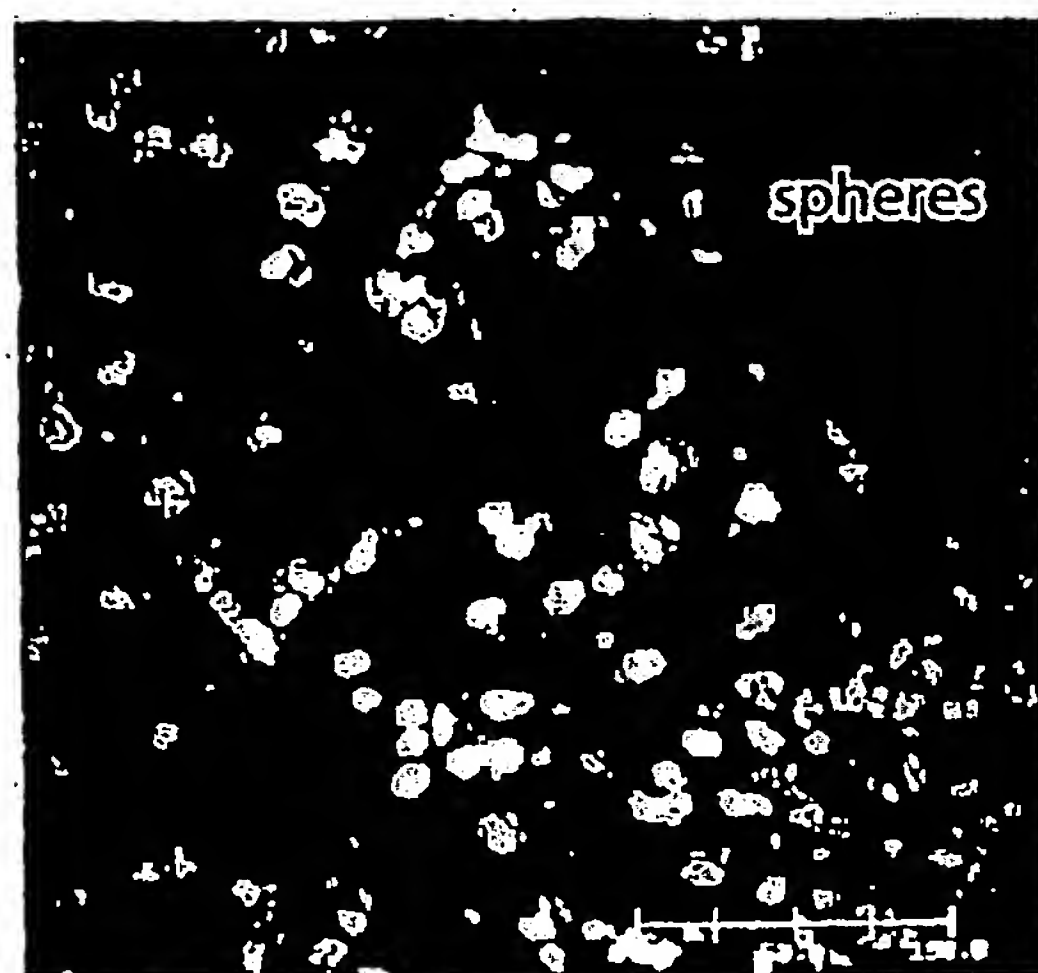


Fig. 16A

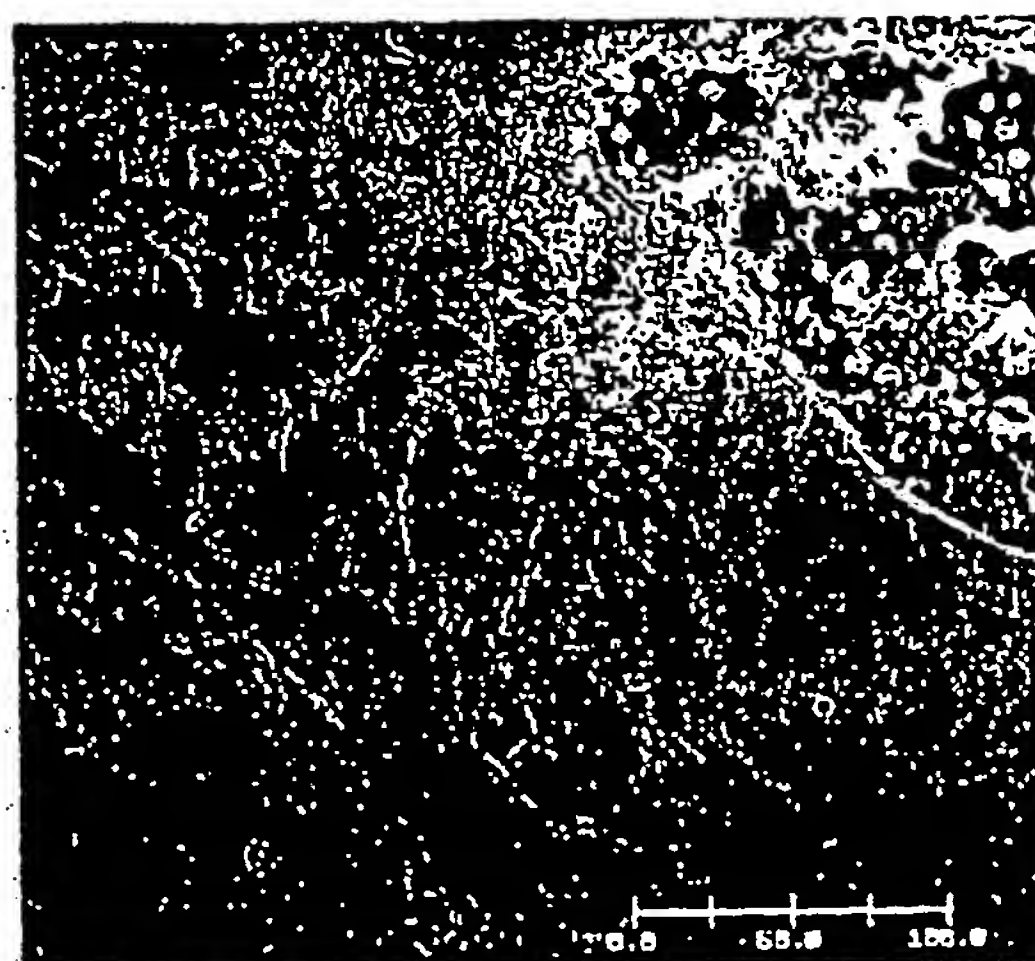


Fig. 16B

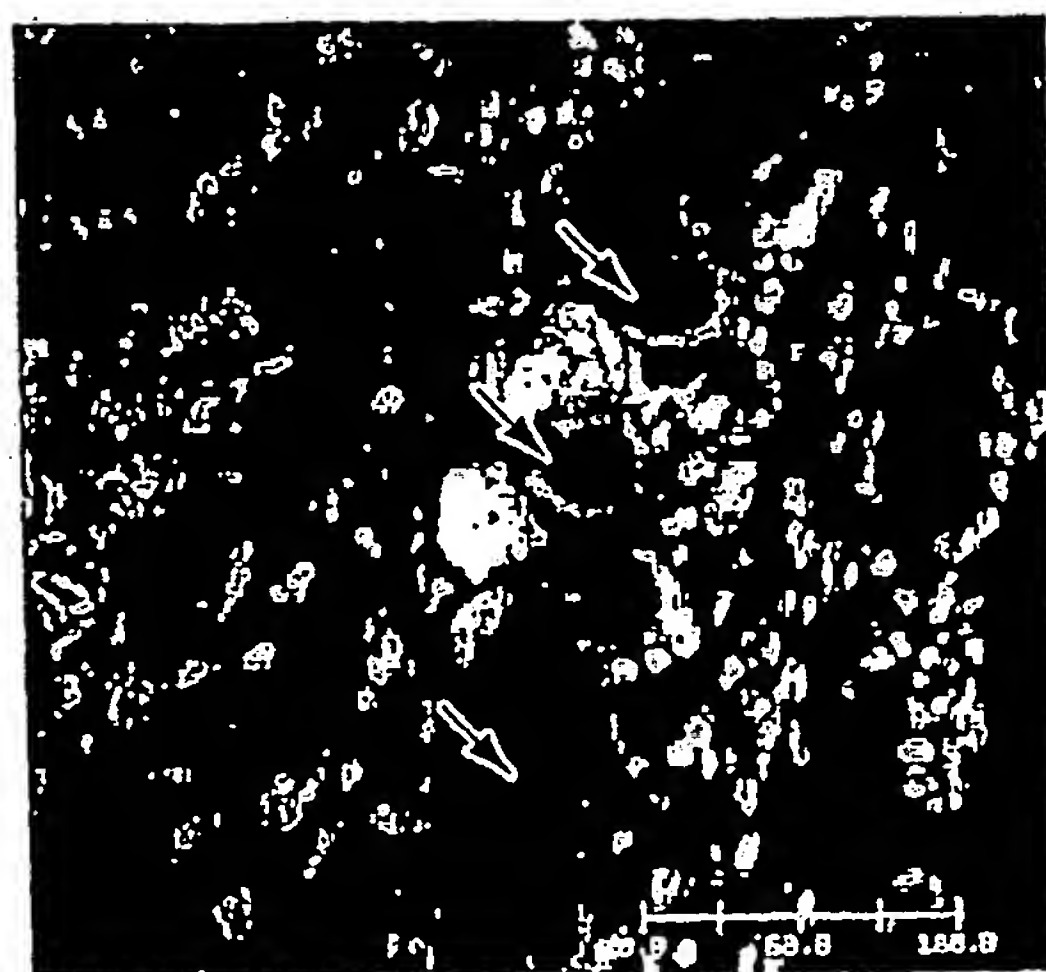


Fig. 16C

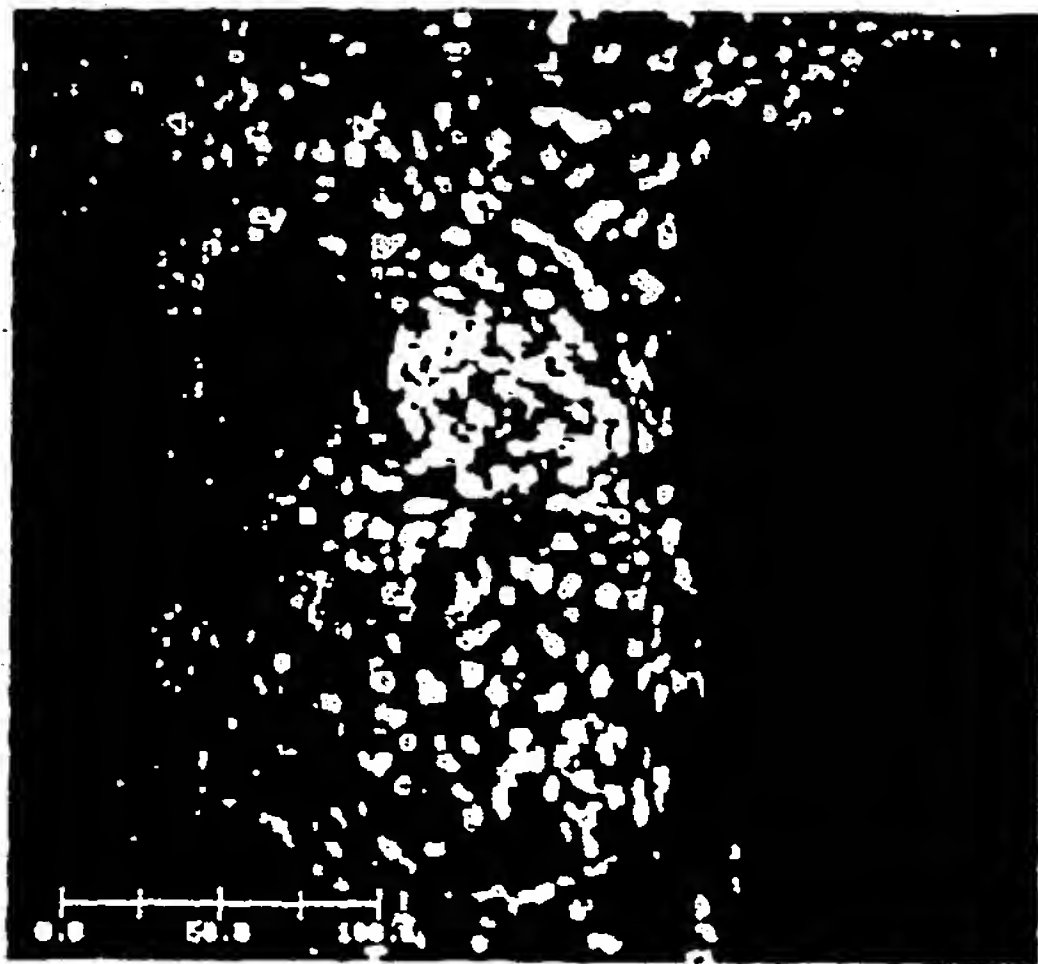


Fig. 17A

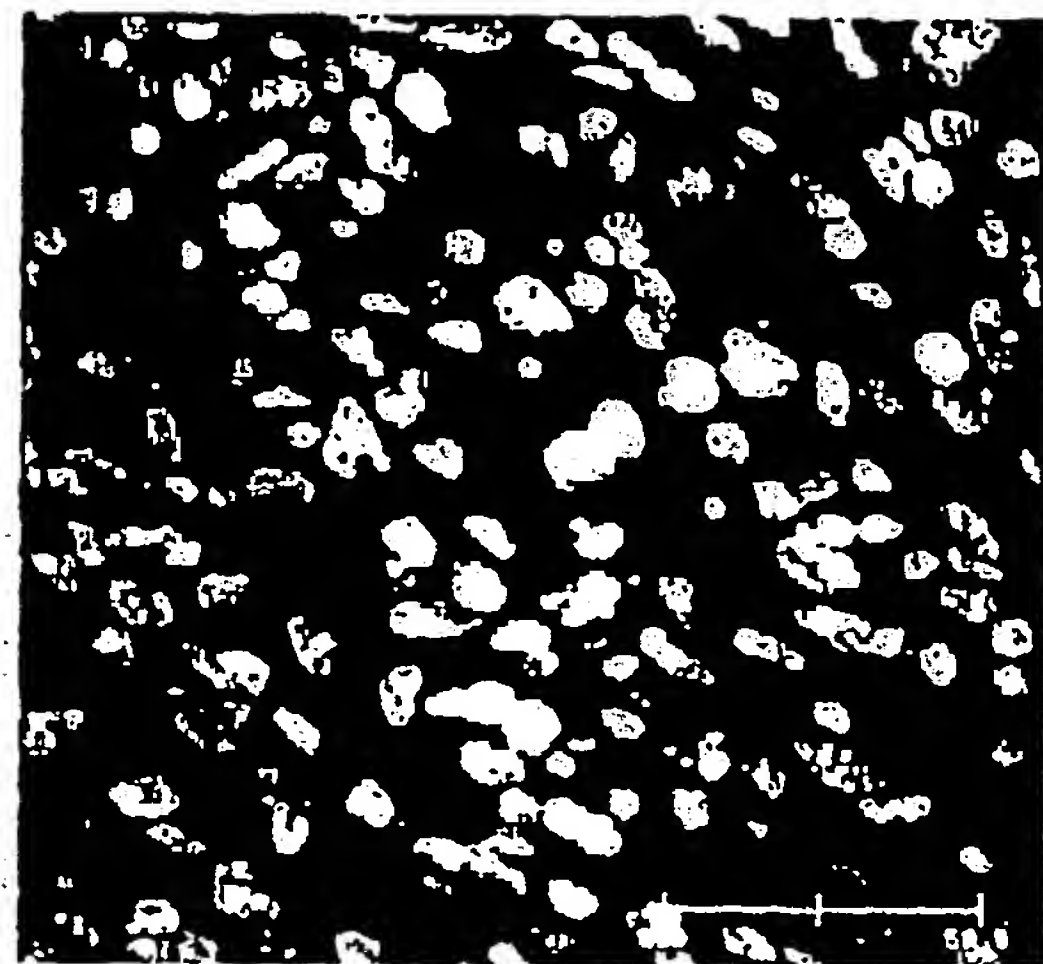


Fig. 17B

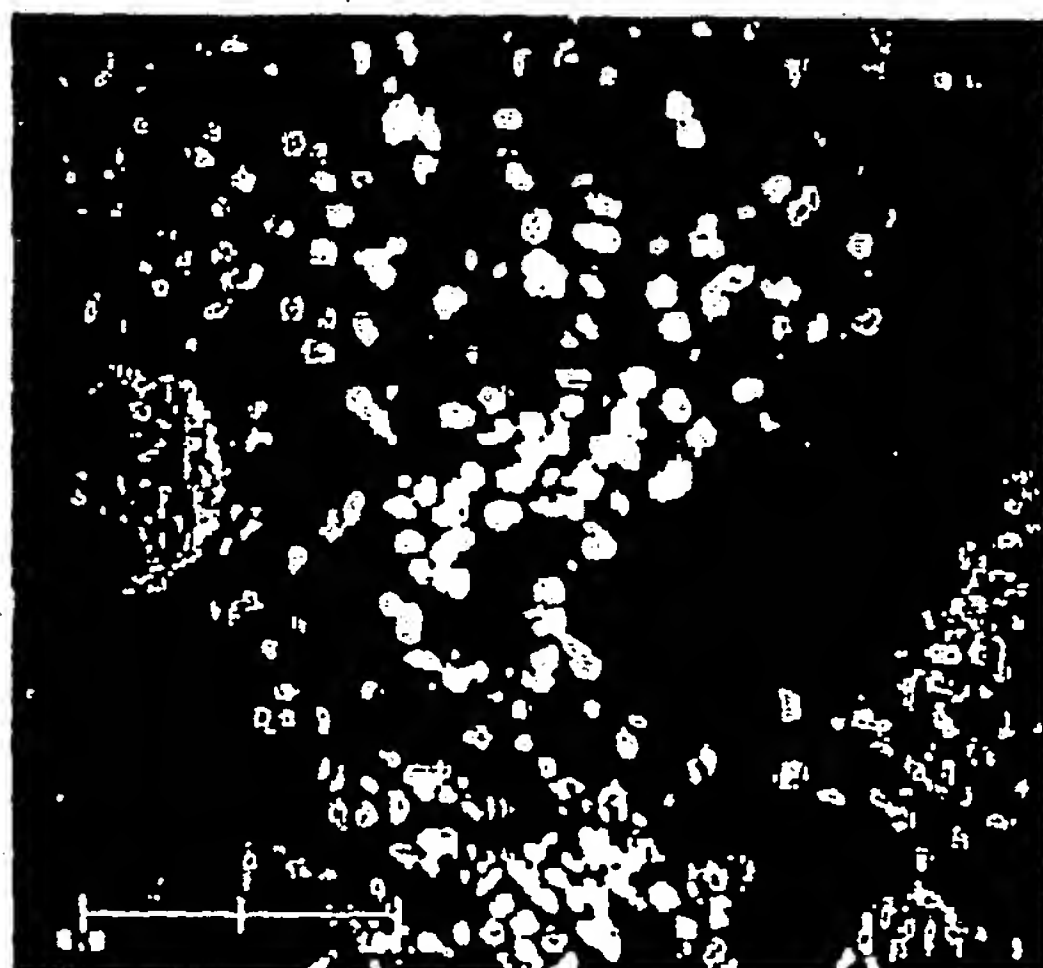


Fig. 18A

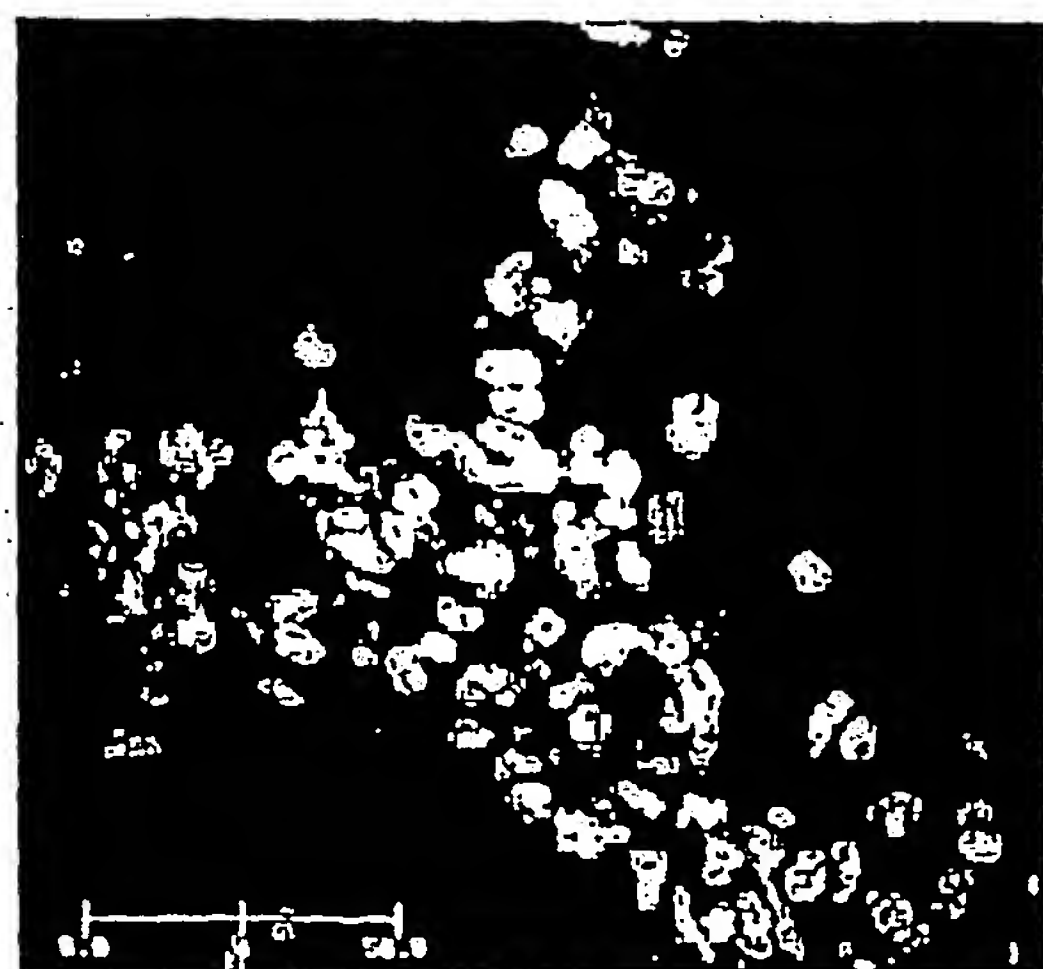


Fig. 18B

12/14

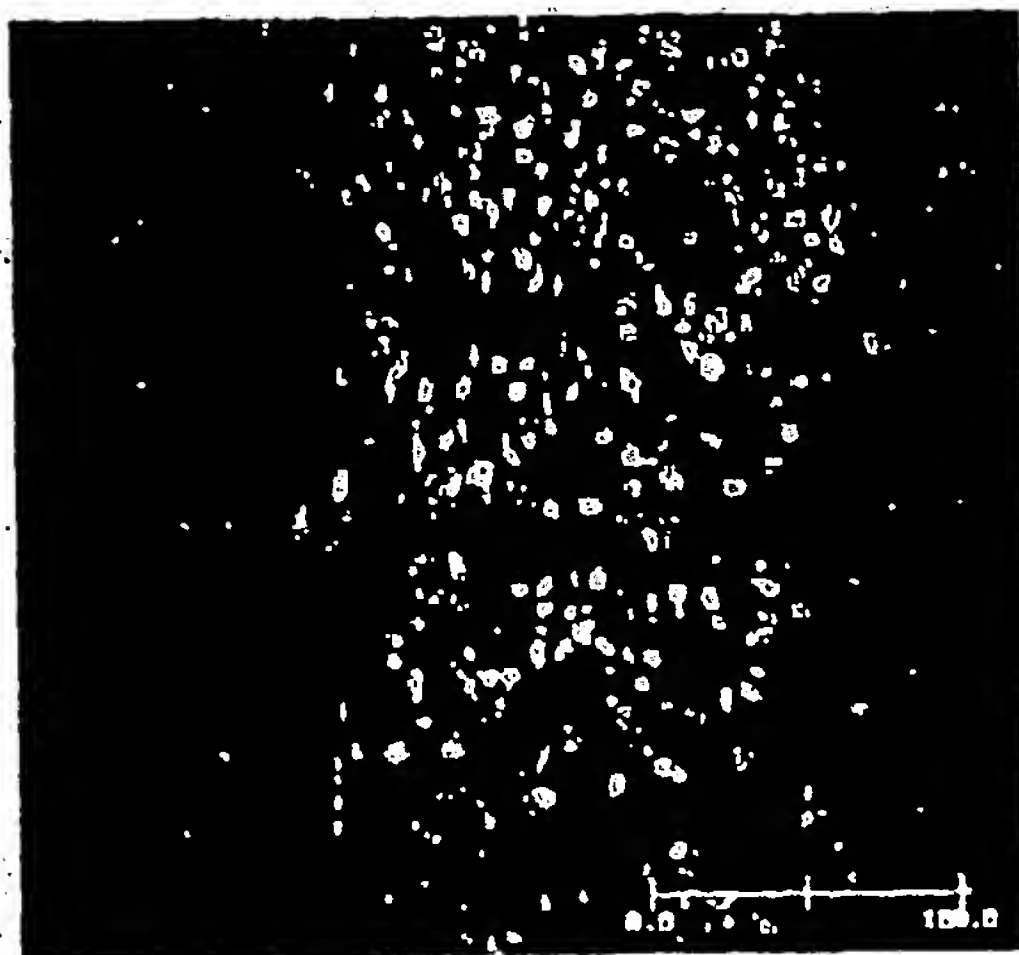


Fig. 19A

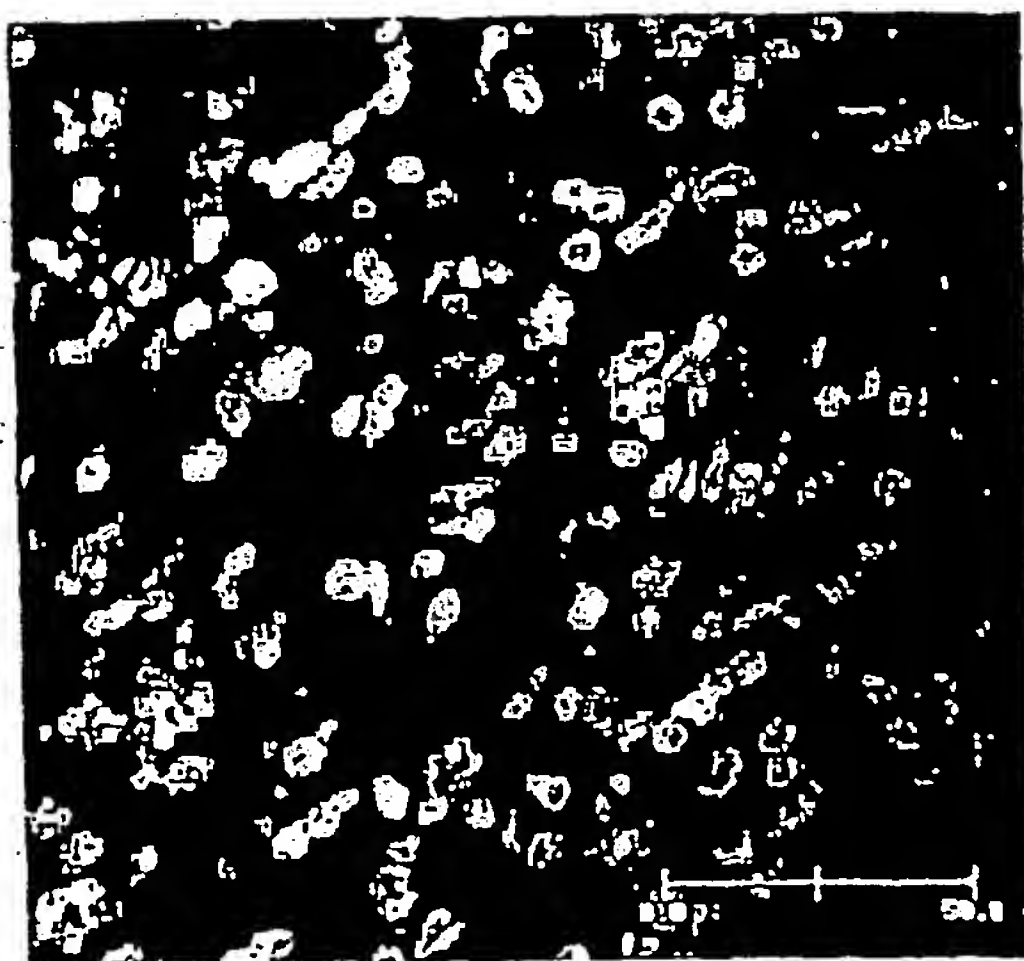


Fig. 19B

13/14



Fig. 20A

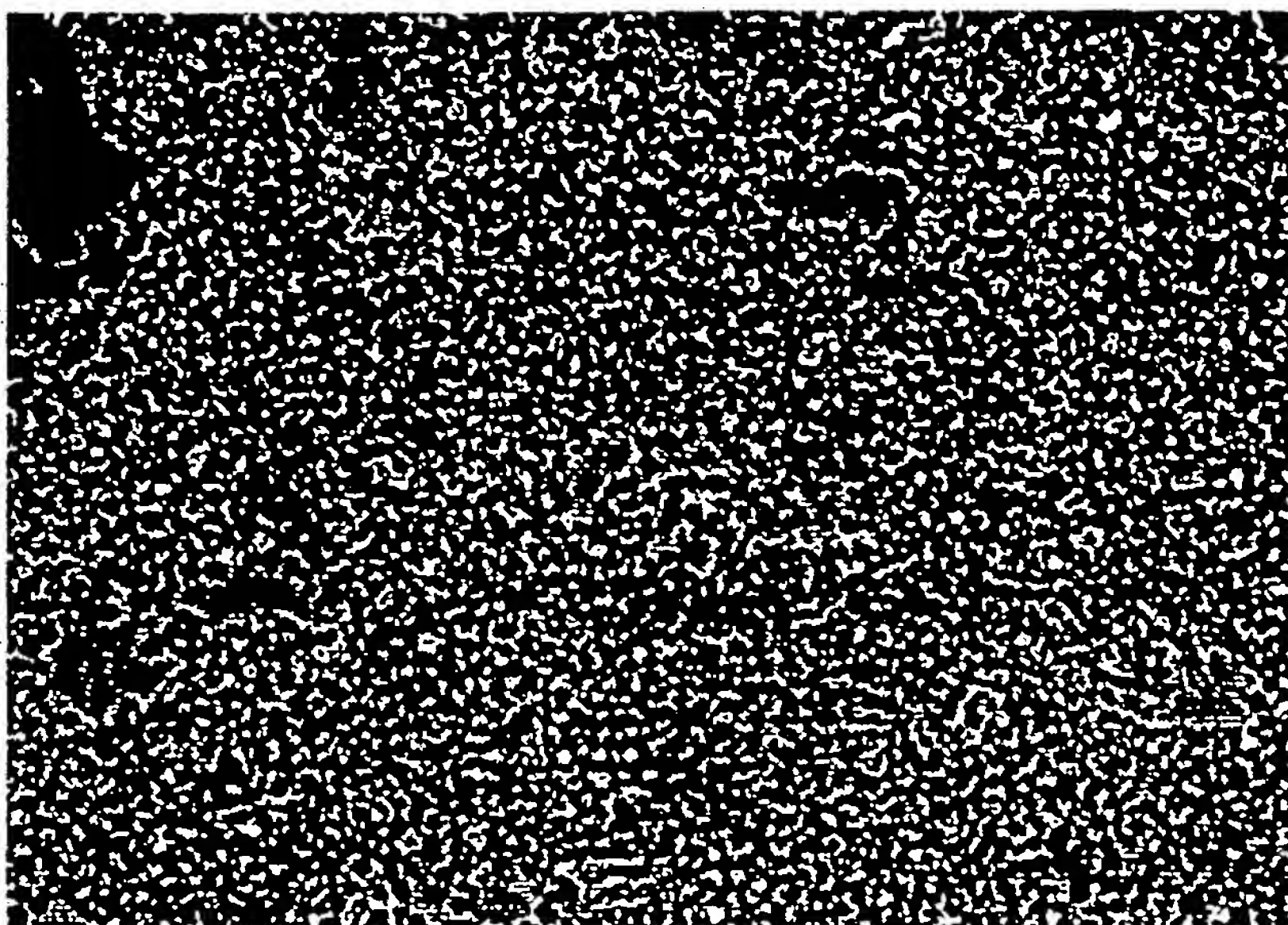


Fig. 20B

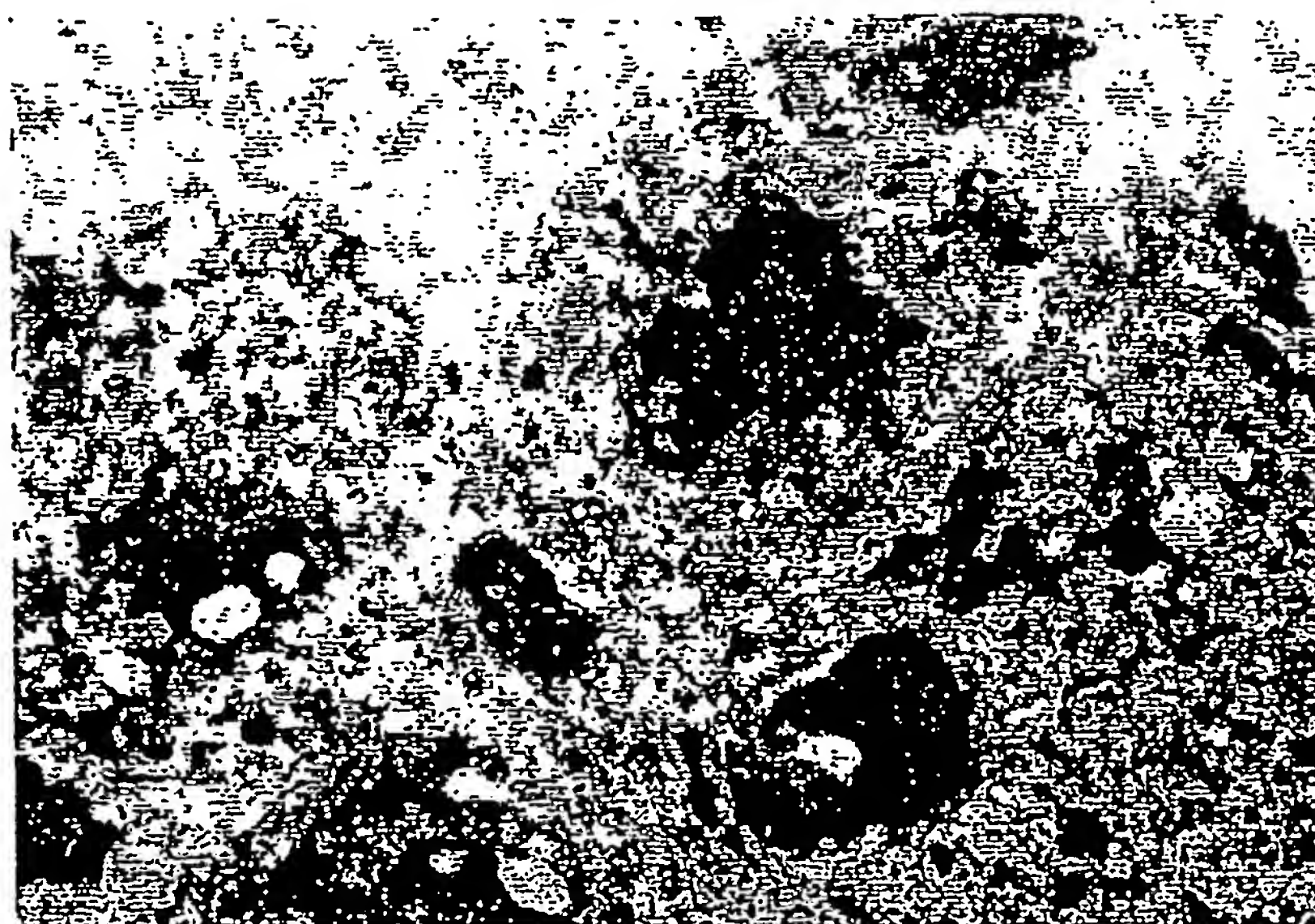


Fig. 20C

14/14

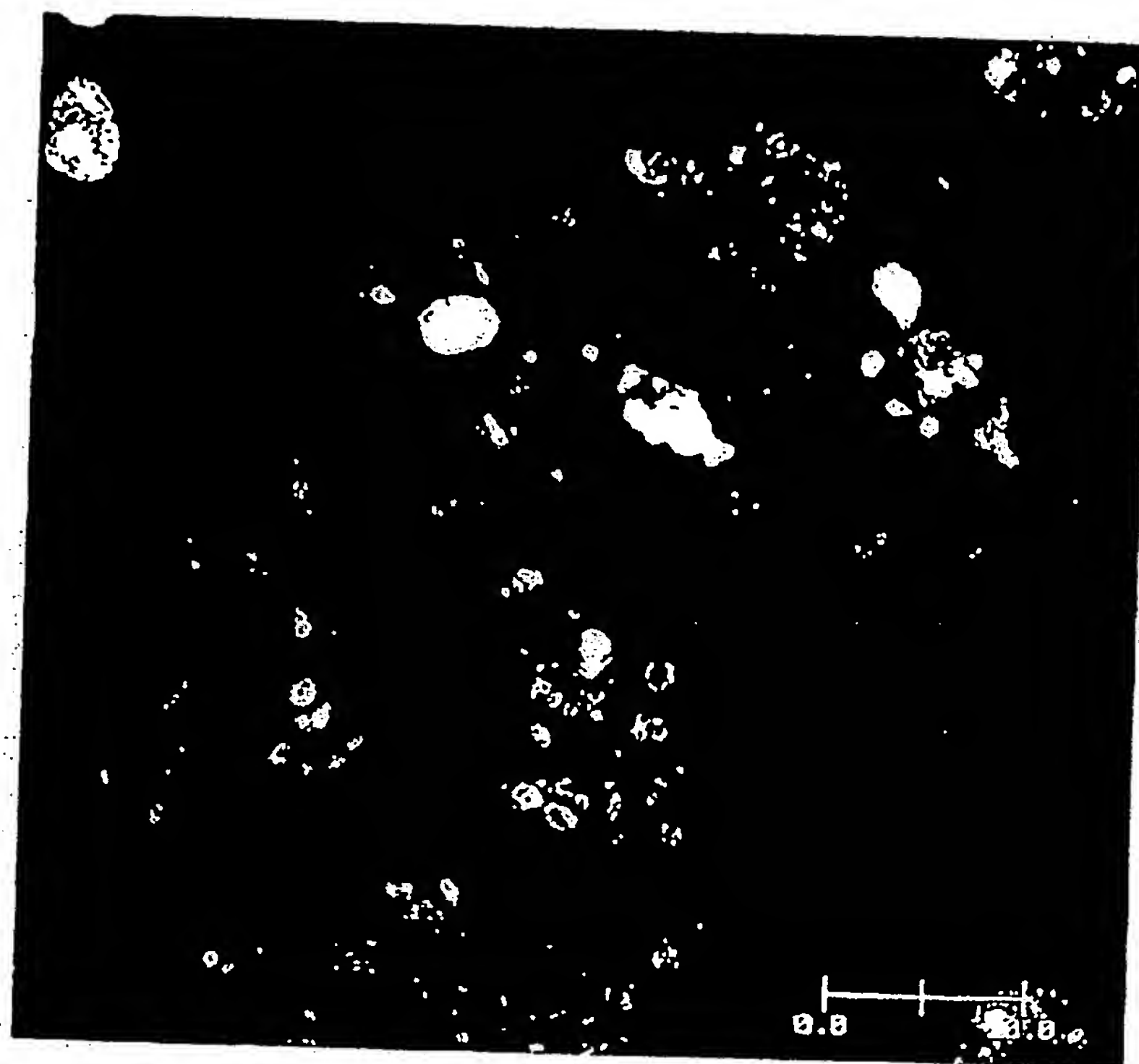


Fig. 21